

МИНИСТЕРСТВО НАУКИ И ВЫСШЕГО ОБРАЗОВАНИЯ  
РОССИЙСКОЙ ФЕДЕРАЦИИ

Федеральное государственное автономное  
образовательное учреждение высшего образования  
«Национальный исследовательский университет ИТМО»  
(Университет ИТМО)

Факультет систем управления и робототехники

ОТЧЕТ  
по лабораторной работе № 6:  
КРИТЕРИЙ НАЙКВИСТА И СИСТЕМЫ С ЗАПАЗДЫВАНИЕМ

Вариант 27

по дисциплине  
*«Линейные системы автоматического управления»*

Студент:  
*Группа № R3338*

*А.А. Нечаева*

Предподаватель:  
*ассистент факультета СУиР, к. т. н.*

*А.В. Пашенко*

Санкт-Петербург 2024

## СОДЕРЖАНИЕ

1	ГОДОГРАФ НАЙКВИСТА .....	4
1.1	Объект 1 .....	4
1.2	Объект 2 .....	8
1.3	Объект 3 .....	12
2	КОЭФФИЦИЕНТ УСИЛЕНИЯ .....	16
2.1	Построение годографа Найквиста для $k = 1$ .....	16
2.2	Влияние $k$ на кривую годографа .....	18
2.2.1	$k = 0.5$ .....	18
2.2.2	$k = 5$ .....	21
2.2.3	$k = 15$ .....	23
2.3	Зависимость устойчивости замкнутой системы от $k$ .....	25
2.3.1	Система 1 .....	25
2.3.2	Система 2 .....	26
2.4	Определение запаса устойчивости .....	32
2.4.1	Система 1 .....	32
2.4.2	Система 2 .....	33
2.5	Выполнение моделирования .....	33
2.5.1	Система 1 .....	33
2.5.2	Система 2 .....	35
3	ЗАПАЗДЫВАНИЕ .....	38
3.1	Построение годографа Найквиста .....	38
3.1.1	Система 1 .....	38
3.1.2	Система 2 .....	40
3.2	Влияние коэффициента запаздывания на кривую годографа ....	41
3.2.1	Система 1 .....	41
3.2.2	Система 2 .....	43
3.3	Нахождение значений $r$ , при которых система устойчива .....	45
3.3.1	Система 1 .....	45
3.3.2	Система 2 .....	46
3.4	Моделирование .....	47

3.4.1	Система 1 .....	47
3.4.2	Система 2 .....	48
4	ВЫВОД .....	51

# 1 ГОДОГРАФ НАЙКВИСТА

Придумаем 3 объекта пятого порядка  $p = 1$  полюс передаточной функции которых вещественный, а  $q = 4$  – комплексно-сопряженные.

## 1.1 Объект 1

Передаточная функция имеет  $n = 4$  неустойчивых полюсов у разомкнутой системы и  $m = 2$  неустойчивых полюсов у замкнутой.

$$W_{\text{раз.}} = \frac{R(s)}{Q(s)} \quad (1)$$

Воспользуемся теоремой декарта, чтобы получить  $n = 4$  неустойчивых полюса, необходимо две или четыре смены знаков у коэффициентов знаменателя

$$\begin{aligned} Q(s) &= (s + 1)(s - 1 - i)(s - 1 + i)(s - 1 - 2i)(s - 1 + 2i) = \\ &= s^5 - 3s^4 + 7s^3 - 3s^2 - 4s + 10 \end{aligned} \quad (2)$$

Теперь подберем так часть  $R(s)$ , чтобы соответствовать условию  $m = 2$  неустойчивых полюсов у замкнутой

$$R(s) = -6s^3 + 3s^2 + 4s \quad (3)$$

$$W_{\text{зам.}} = \frac{W_{\text{раз.}}}{1 + W_{\text{раз.}}} = \frac{R(s)}{Q(s) + R(s)} \quad (4)$$

тогда получим полюса замкнутой системы:

$$\begin{aligned} Q(s) + R(s) &= s^5 - 3s^4 + s^3 + 10 \Rightarrow \\ &\Rightarrow \begin{cases} s_1 \simeq -1.18745 < 0, \\ s_{2,3} \simeq -0.06223 \pm 1.33317i, & \text{Re}(s_{2,3}) < 0, \\ s_{4,5} \simeq 2.1560 \pm 0.2824i, & \text{Re}(s_{4,5}) > 0 \end{cases} \end{aligned} \quad (5)$$

$$W_{\text{раз.}} = \frac{-6s^3 + 3s^2 + 4s}{s^5 - 3s^4 + 7s^3 - 3s^2 - 4s + 10} \quad (6)$$

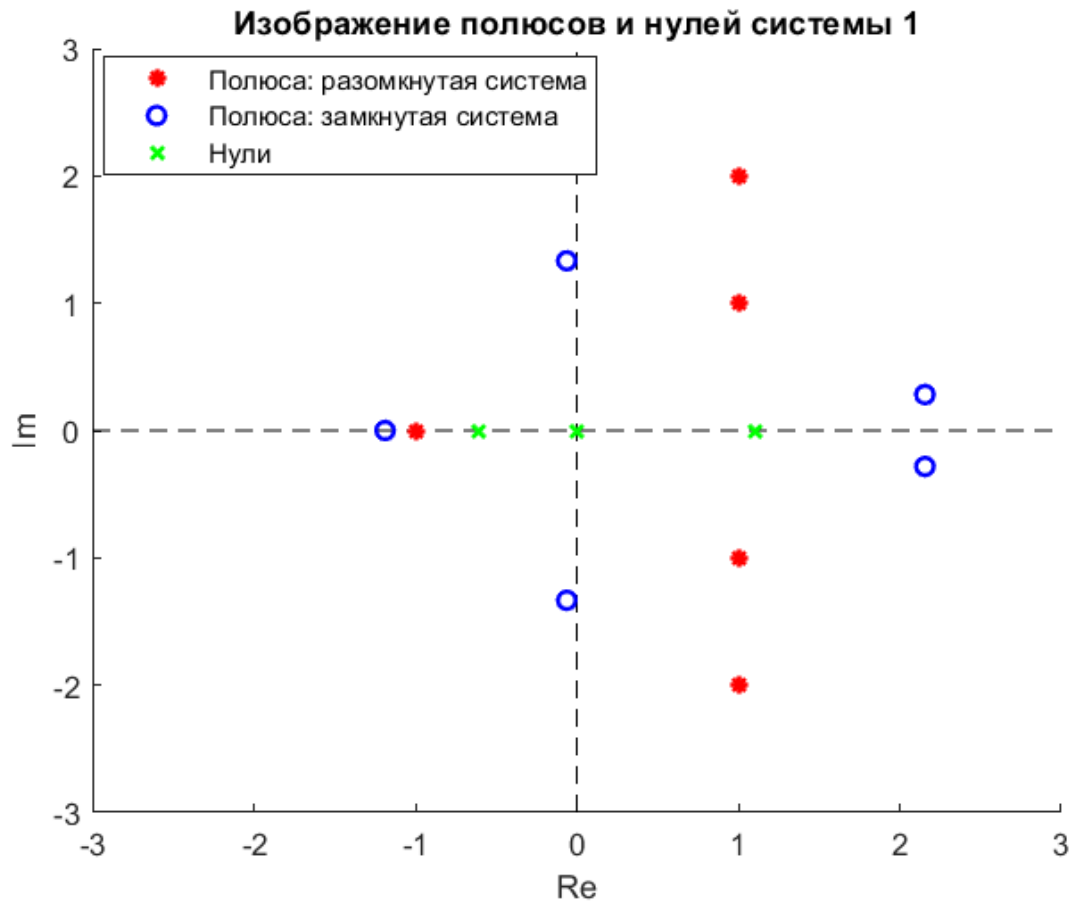


Рисунок 1 — Карта полюсов и нулей для первой системы.

$$W_{\text{зам.}} = \frac{-6s^3 + 3s^2 + 4s}{s^5 - 3s^4 + s^3 + 10} \quad (7)$$

Приведем переходные характеристики разомкнутой и замкнутой систем.

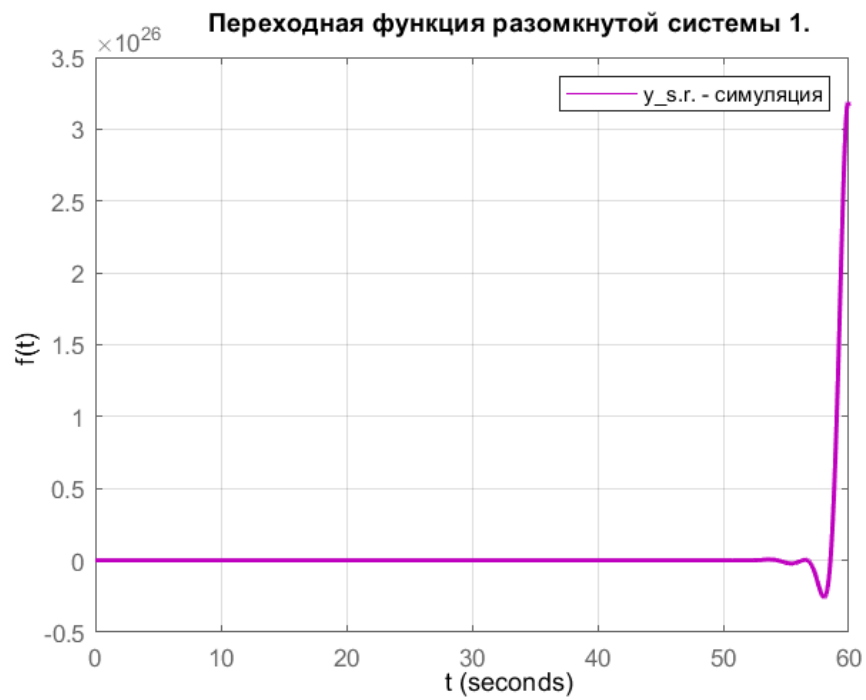


Рисунок 2 — Переходная функция разомкнутой первой системы.

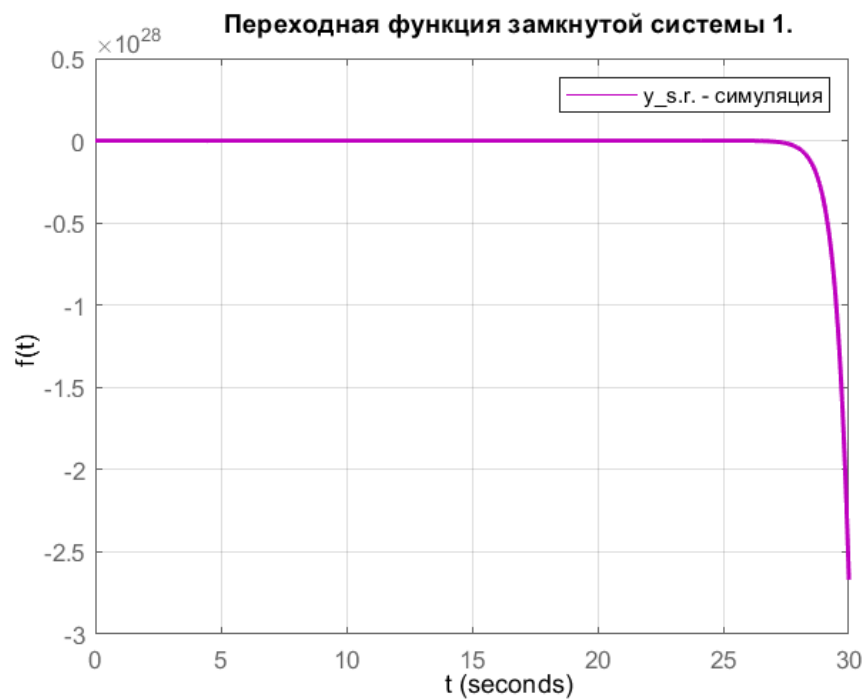


Рисунок 3 — Переходная функция замкнутой первой системы.

Приведем график годографа Найквиста.

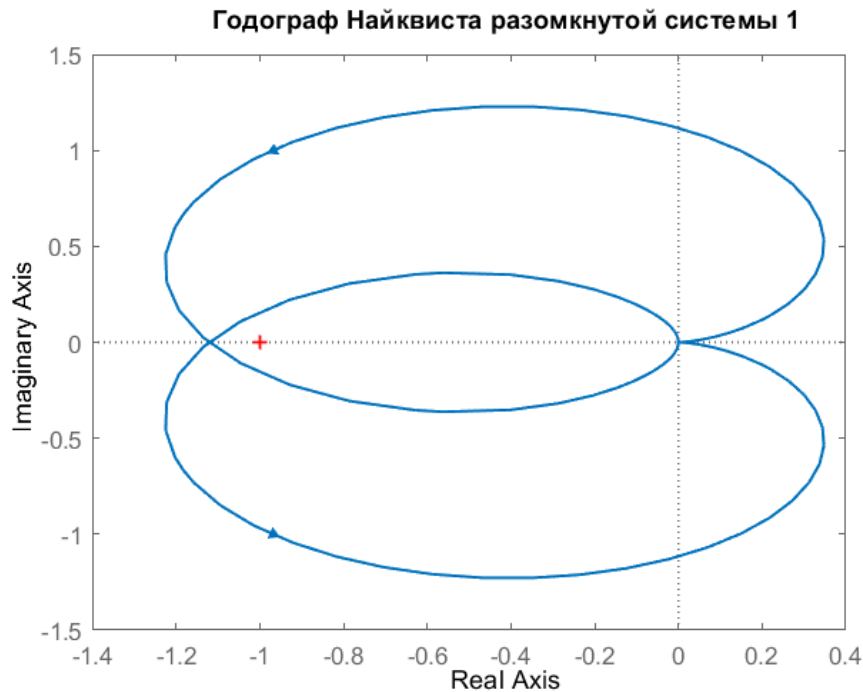


Рисунок 4 — Годограф Найквиста первой системы.

Согласно критерию Найквиста, количество оборотов годографа вокруг точки  $(-1, 0)$  по часовой стрелке равно разнице количеств неустойчивых полюсов замкнутой и разомкнутой систем.

Для первой системы количество оборотов годографа вокруг точки  $(-1, 0)$  по часовой стрелке равно -2, что подтверждается графиком годографа.

Построим ЛАФЧХ для разомкнутой системы

У разомкнутой системы 4 неустойчивых полюса. Для того, чтобы замкнутая система была устойчива, необходимо и достаточно, чтобы разность между положительными и отрицательными переходами ЛФЧХ прямой  $\phi(\omega) = \pm(2k + 1)\pi$ ,  $k = (0, 1, 2, \dots)$  при частотах, когда  $L(\omega) > 0$ , была равна половине числа неустойчивых полюсов разомкнутой системы.

По графику ЛАФЧХ (рисунок 5), видно, что имеет место **положительный** переход один, что подтверждает неустойчивость замкнутой системы.

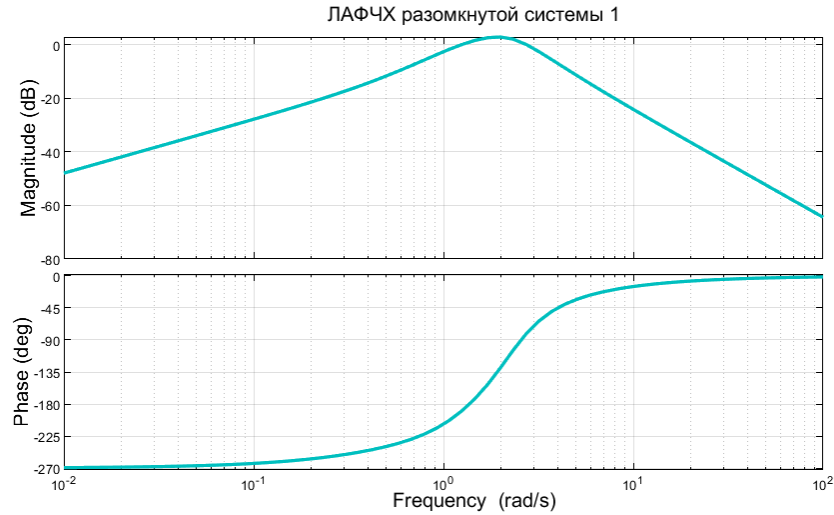


Рисунок 5 — ЛАФЧХ первой системы.

## 1.2 Объект 2

Передаточная функция имеет 0 неустойчивых полюсов у разомкнутой системы и  $m = 2$  неустойчивых полюсов у замкнутой.

$$Q(s) = (s + 1)(s + 1 - i)(s + 1 + i)(s + 1 - 2i)(s + 1 + 2i) = s^5 + 5s^4 + 15s^3 + 25s^2 + 24s + 10 \quad (8)$$

Теперь подберем так часть  $R(s)$ , чтобы соответствовать условию  $m = 2$  неустойчивых полюсов у замкнутой

$$R(s) = -26s^2 \quad (9)$$

тогда получим полюса замкнутой системы:

$$Q(s) + R(s) = s^5 + 5s^4 + 15s^3 - s^2 + 24s + 10 \Rightarrow \Rightarrow \begin{cases} s_1 \simeq -0.380292 < 0, \\ s_{2,3} \simeq -2.7558 \pm 2.9963i, & Re(s_{2,3}) < 0, \\ s_{4,5} \simeq 0.44597 \pm 1.17805i, & Re(s_{4,5}) > 0 \end{cases} \quad (10)$$

$$W_{\text{раз.}} = \frac{-26s^2}{s^5 + 5s^4 + 15s^3 + 25s^2 + 24s + 10} \quad (11)$$

$$W_{\text{зам.}} = \frac{-26s^2}{s^5 + 5s^4 + 15s^3 - s^2 + 24s + 10} \quad (12)$$



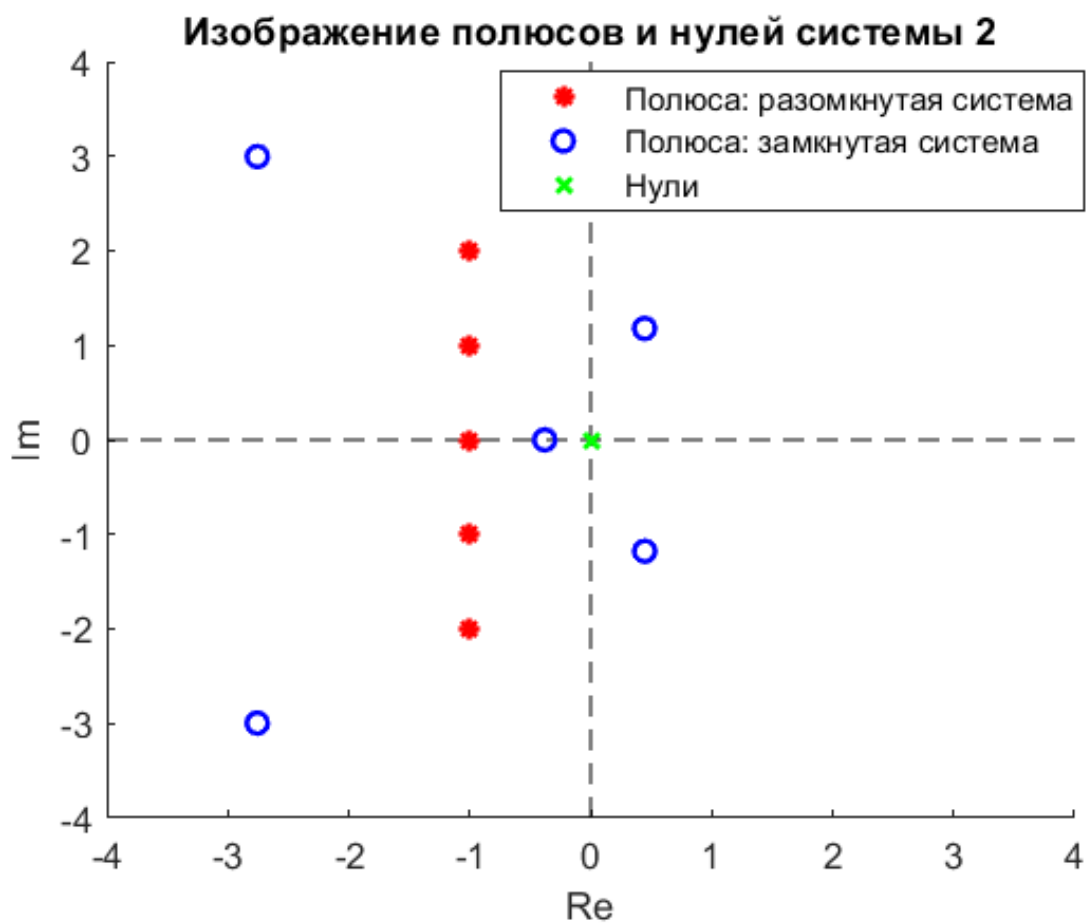


Рисунок 6 — Карта полюсов и нулей для второй системы.

Приведем переходные характеристики разомкнутой и замкнутой систем.

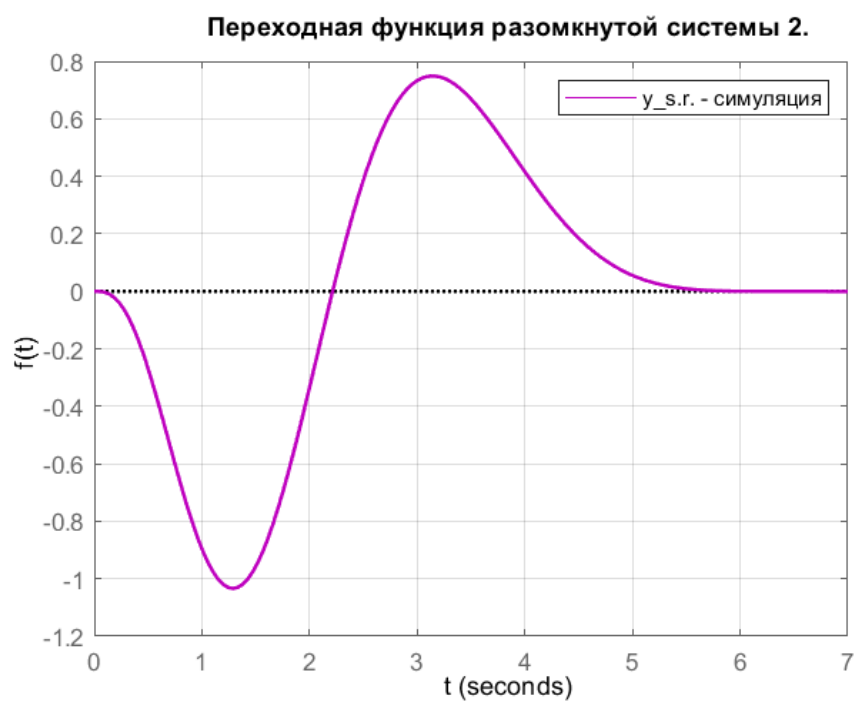


Рисунок 7 — Переходная функция разомкнутой второй системы.

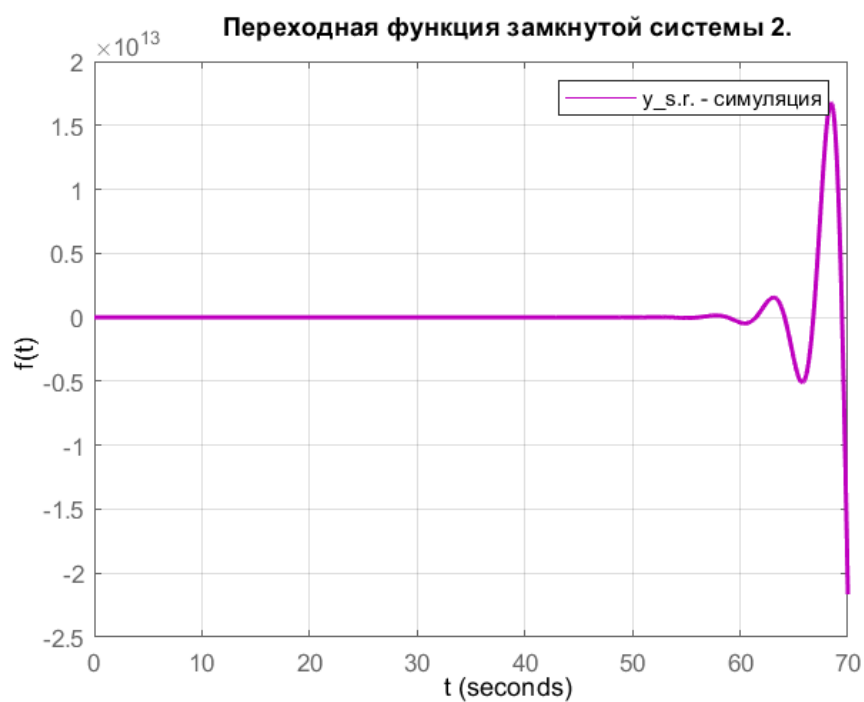


Рисунок 8 — Переходная функция замкнутой второй системы.

Приведем график годографа Найквиста.

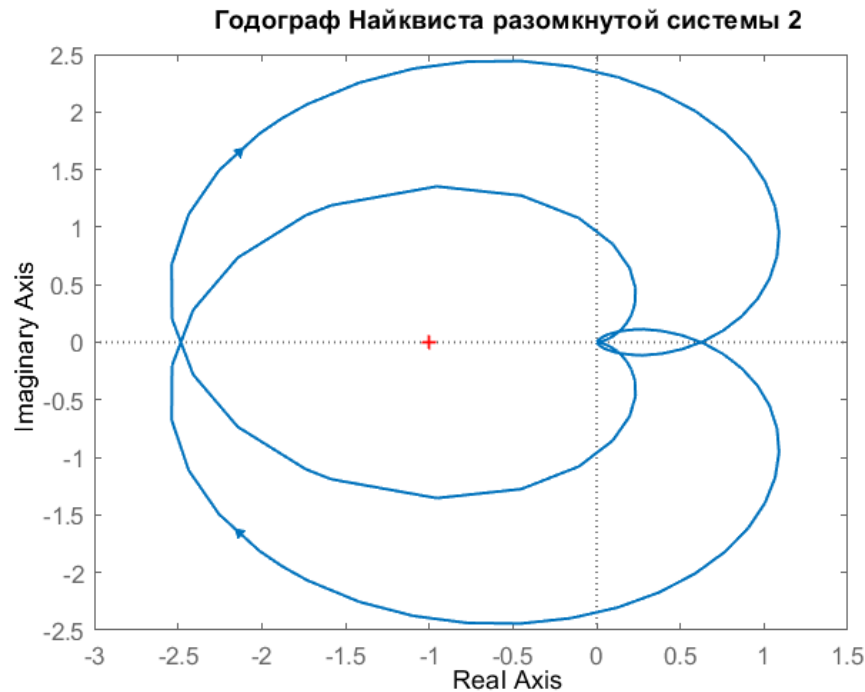


Рисунок 9 — Годограф Найквиста разомкнутой второй системы.

Согласно критерию Найквиста, количество оборотов годографа вокруг точки  $(-1, 0)$  по часовой стрелке равно разнице количеств неустойчивых полюсов замкнутой и разомкнутой систем.

Для второй системы количество оборотов годографа вокруг точки  $(-1, 0)$  по часовой стрелке равно 2, что подтверждается графиком годографа.

Построим ЛАФЧХ для разомкнутой системы

У разомкнутой системы 0 неустойчивых полюсов. Для того, чтобы замкнутая система была устойчива, необходимо и достаточно, чтобы разность между положительными и отрицательными переходами ЛФЧХ прямой  $\phi(\omega) = \pm(2k + 1)\pi$ ,  $k = (0, 1, 2, \dots)$  при частотах, когда  $L(\omega) > 0$ , была равна половине числа неустойчивых полюсов разомкнутой системы.

По графику ЛАФЧХ (рисунок 10), видно, что имеет место один **отрицательный** переход, что подтверждает неустойчивость замкнутой системы.

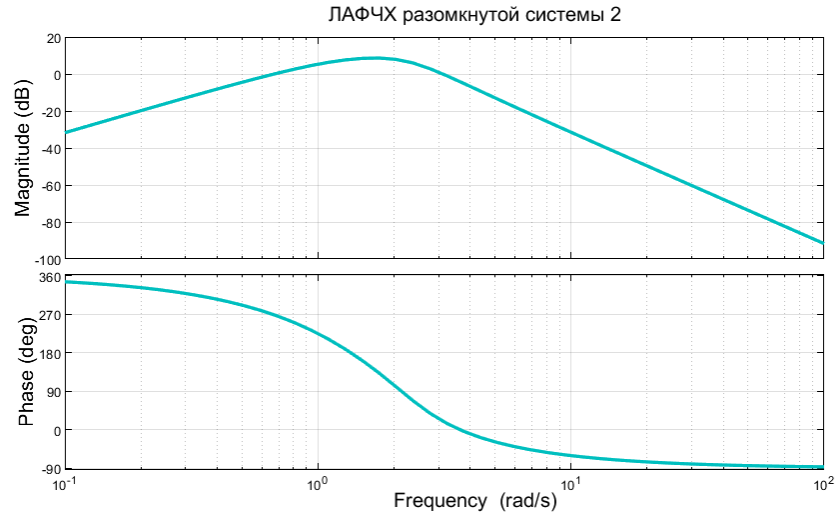


Рисунок 10 — ЛАФЧХ второй системы.

### 1.3 Объект 3

Передаточная функция имеет  $n = 4$  неустойчивых полюсов у разомкнутой системы и 0 неустойчивых полюсов у замкнутой.

$$Q(s) = (s + 2)(s - 1 - i)(s - 1 + i)(s - 1 - 2i)(s - 1 + 2i) = s^5 - 2s^4 + 3s^3 + 8s^2 - 18s + 20 \quad (13)$$

Теперь подберем так часть  $R(s)$ , чтобы соответствовать условию  $m = 0$  неустойчивых полюсов у замкнутой

$$R(s) = 7s^4 + 12s^3 + 18s^2 + 52s - 1 \quad (14)$$

тогда получим полюса замкнутой системы:

$$Q(s) + R(s) = s^5 + 5s^4 + 15s^3 + 26s^2 + 34s + 10 \Rightarrow \begin{cases} s_1 \simeq -0.385471 < 0, \\ s_{2,3} \simeq -1.9391 \pm 1.5432i, & Re(s_{2,3}) < 0, \\ s_{4,5} \simeq -0.3682 \pm 2.0220i, & Re(s_{4,5}) < 0 \end{cases} \quad (15)$$

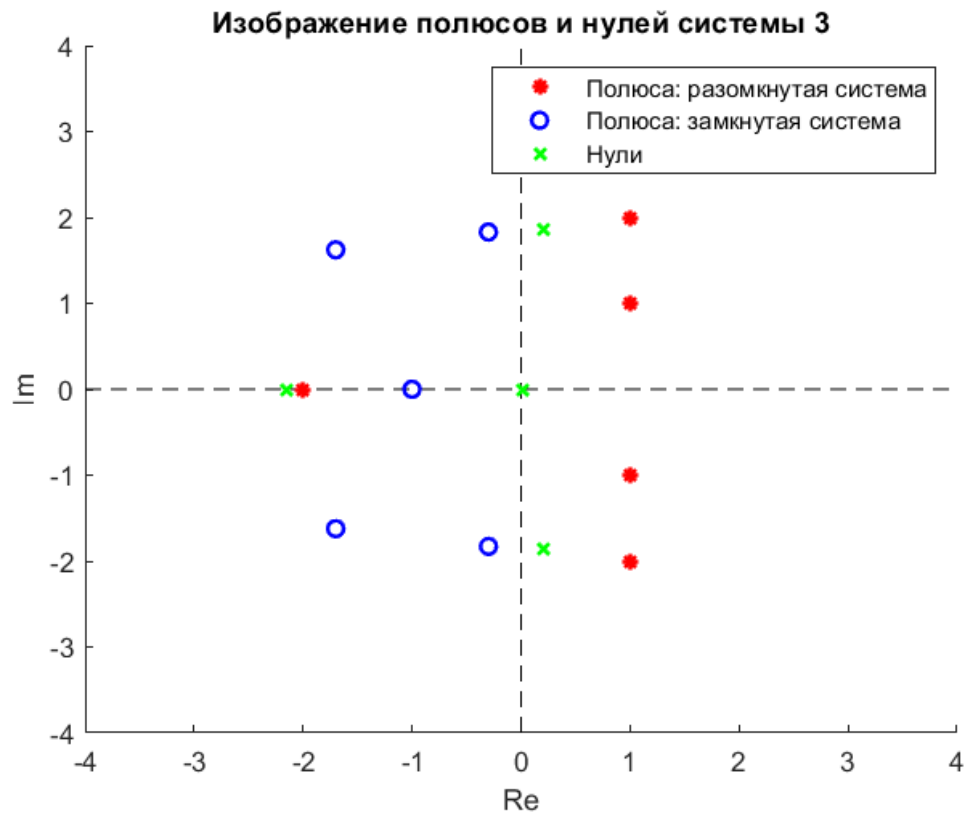


Рисунок 11 — Карта полюсов и нулей для третьей системы.

Приведем переходные характеристики разомкнутой и замкнутой систем.

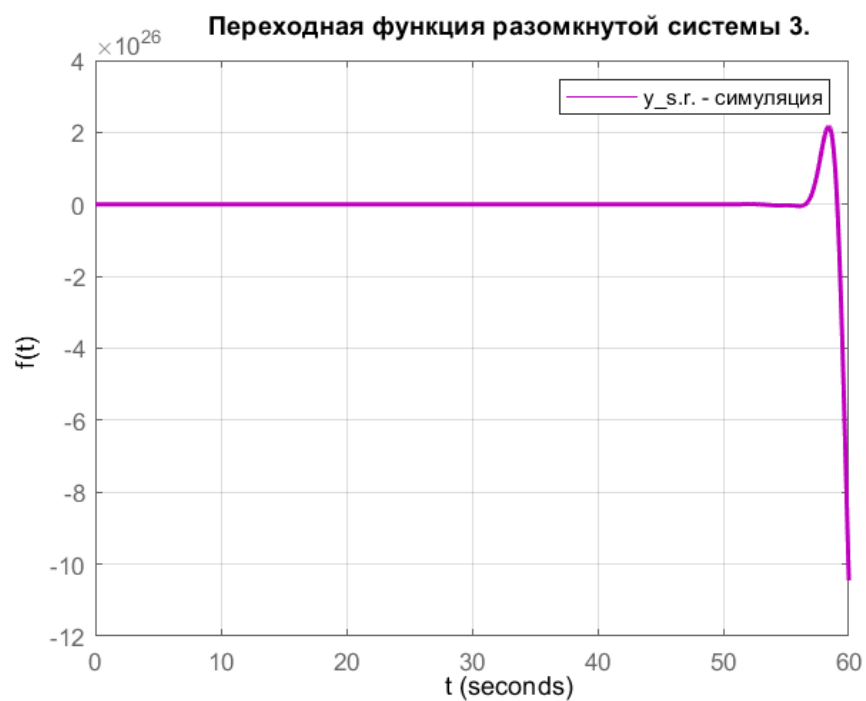


Рисунок 12 — Переходная функция разомкнутой третьей системы.

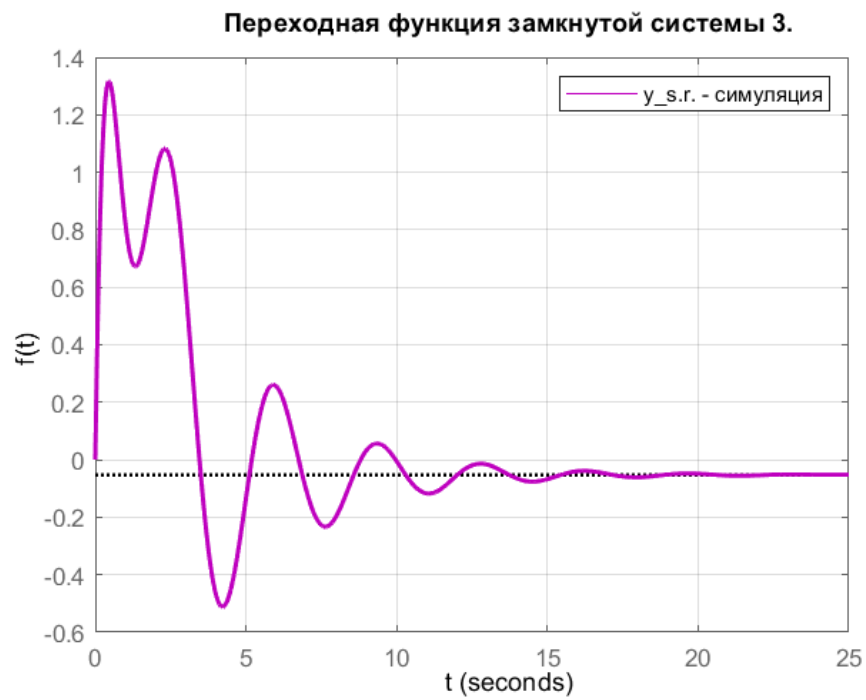


Рисунок 13 — Переходная функция замкнутой третьей системы.

Приведем график годографа Найквиста.

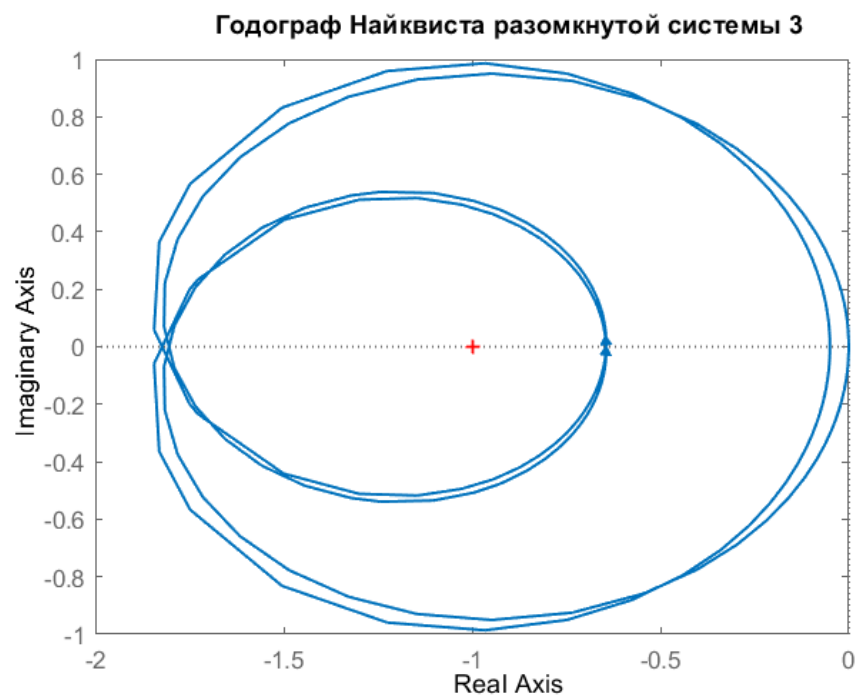


Рисунок 14 — Годограф Найквиста третьей системы.

Согласно критерию Найквиста, количество оборотов годографа вокруг точки  $(-1, 0)$  по часовой стрелке равно разнице количеств неустойчивых полюсов замкнутой и разомкнутой систем.

Для третьей системы количество оборотов годографа вокруг точки  $(-1, 0)$  по часовой стрелке равно -4, что подтверждается графиком годографа.

Построим ЛАФЧХ для разомкнутой системы

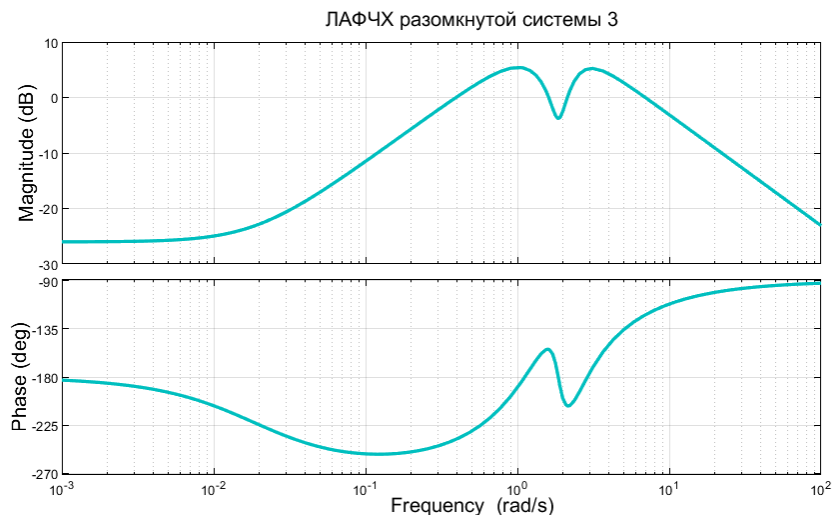


Рисунок 15 — ЛАФЧХ третьей системы.

У разомкнутой системы 4 неустойчивых полюса. Для того, чтобы замкнутая система была устойчива, необходимо и достаточно, чтобы разность между положительными и отрицательными переходами ЛФЧХ прямой  $\phi(\omega) = \pm(2k + 1)\pi$ ,  $k = (0, 1, 2, \dots)$  при частотах, когда  $L(\omega) > 0$ , была равна половине числа неустойчивых полюсов разомкнутой системы.

По графику ЛАФЧХ (рисунок 15), видно, что имеет место 2 **положительных** перехода, что подтверждает устойчивость замкнутой системы.

## 2 КОЭФФИЦИЕНТ УСИЛЕНИЯ

Возьмем значение  $i = 13$  и соответствующие ему передаточные функции

$$W_1(s) = \frac{s - 1}{s^2 + 3s + 1} \quad (16)$$

$$W_2(s) = \frac{10s^3 - 3s^2 + 13s - 2}{10s^3 + 8s^2 - 5s + 4} \quad (17)$$

Добавим к каждой функции коэффициент усиления  $k$ . Будем считать  $k$  положительным.

$$W_1(s) = k \frac{s - 1}{s^2 + 3s + 1} \quad (18)$$

$$W_2(s) = k \frac{10s^3 - 3s^2 + 13s - 2}{10s^3 + 8s^2 - 5s + 4} \quad (19)$$

### 2.1 Построение годографа Найквиста для $k = 1$

Система 1

$$W_1(s) = \frac{s - 1}{s^2 + 3s + 1} \quad (20)$$

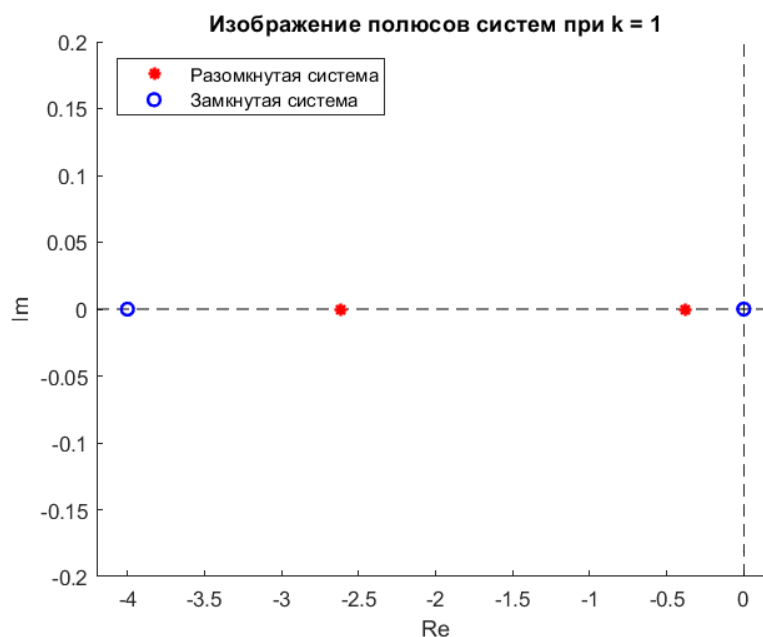


Рисунок 16 — Полюса на комплексной плоскости первой системы при  $k = 1$ .



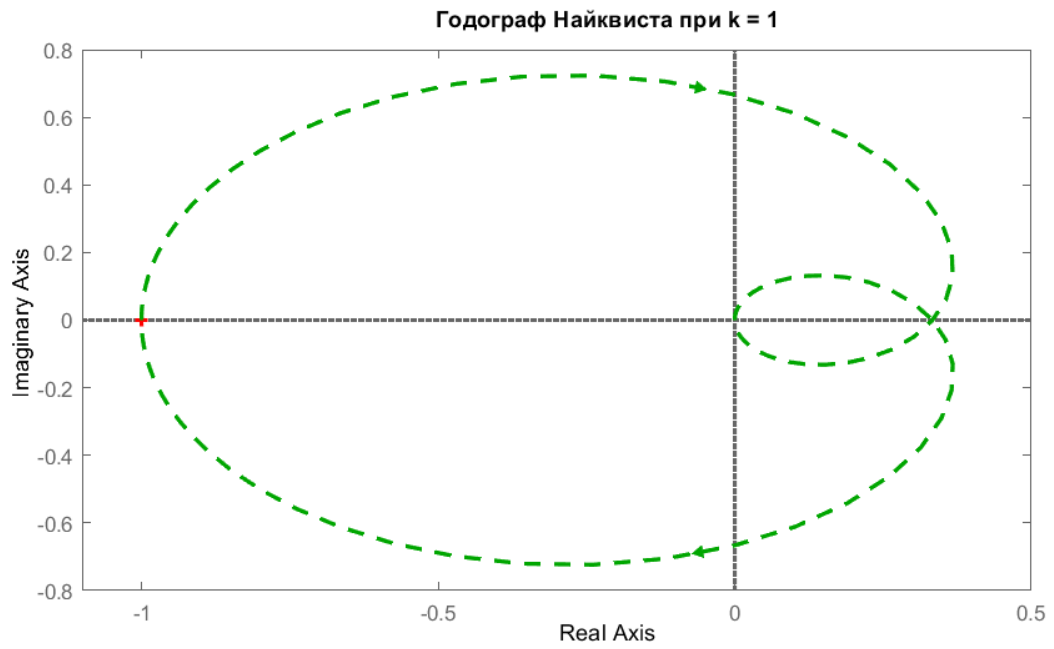


Рисунок 17 — Годограф Найквиста для первой системы при  $k = 1$ .

## Система 2

$$W_2(s) = \frac{10s^3 - 3s^2 + 13s - 2}{10s^3 + 8s^2 - 5s + 4} \quad (21)$$

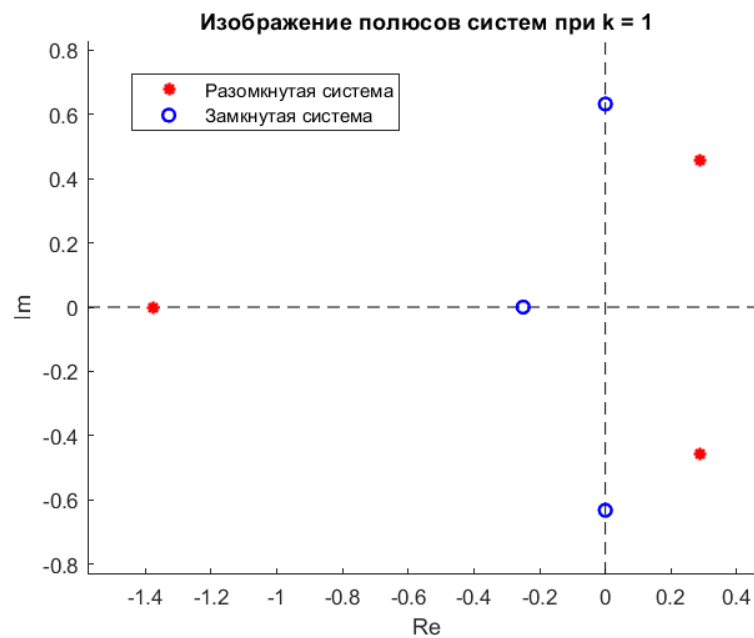


Рисунок 18 — Полюса на комплексной плоскости второй системы при  $k = 1$ .

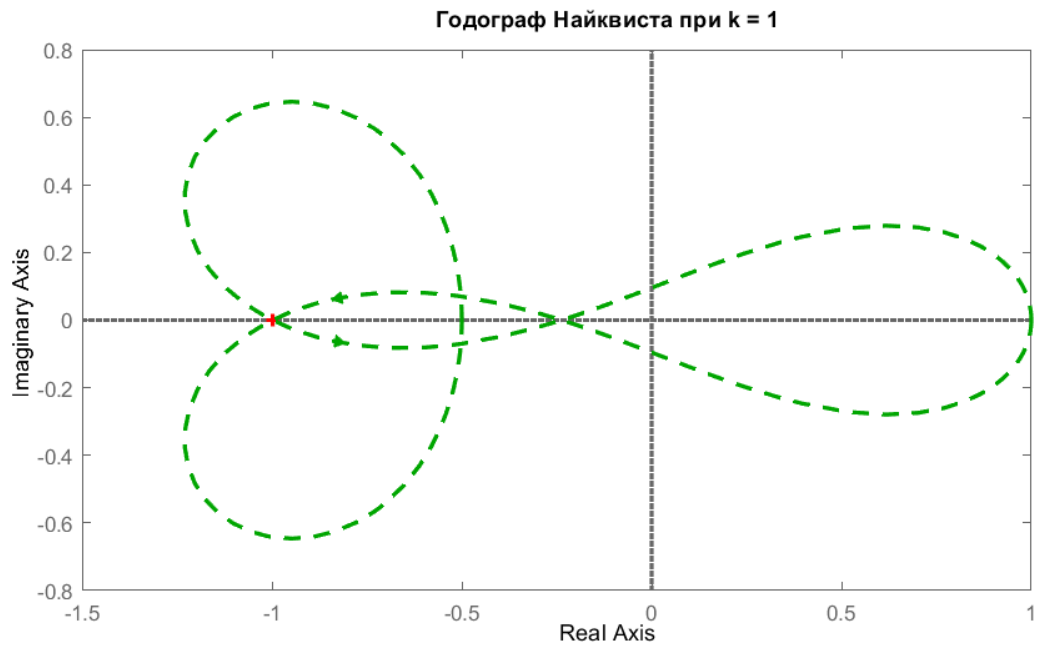


Рисунок 19 — Годограф Найквиста для второй системы при  $k = 1$ .

## 2.2 Влияние $k$ на кривую годографа

Зададимся тремя значениями  $k = 0.5, 5, 15$  и построим годографы Найквиста аналогично предыдущему пункту.

### 2.2.1 $k = 0.5$

Система 1

$$W_1(s) = \frac{0.5s - 0.5}{s^2 + 3s + 1} \quad (22)$$

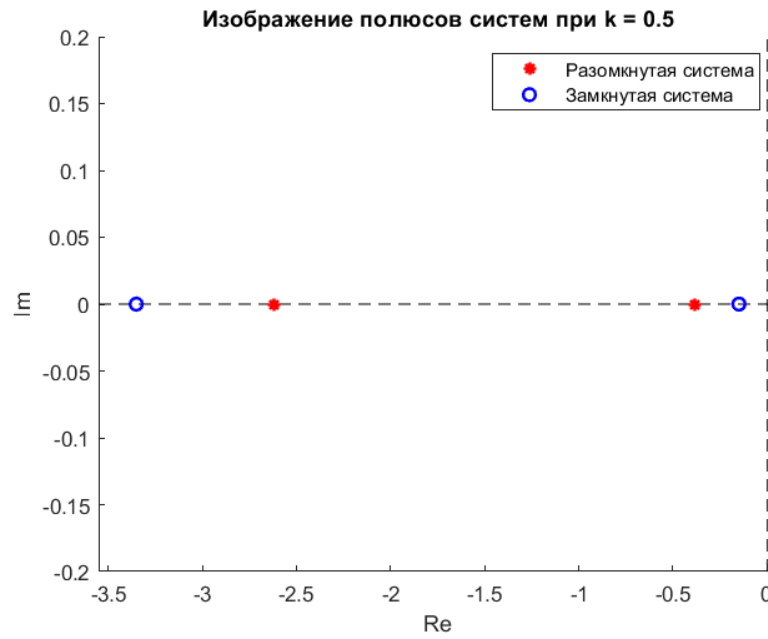


Рисунок 20 — Полюса на комплексной плоскости первой системы при  $k = 0.5$ .

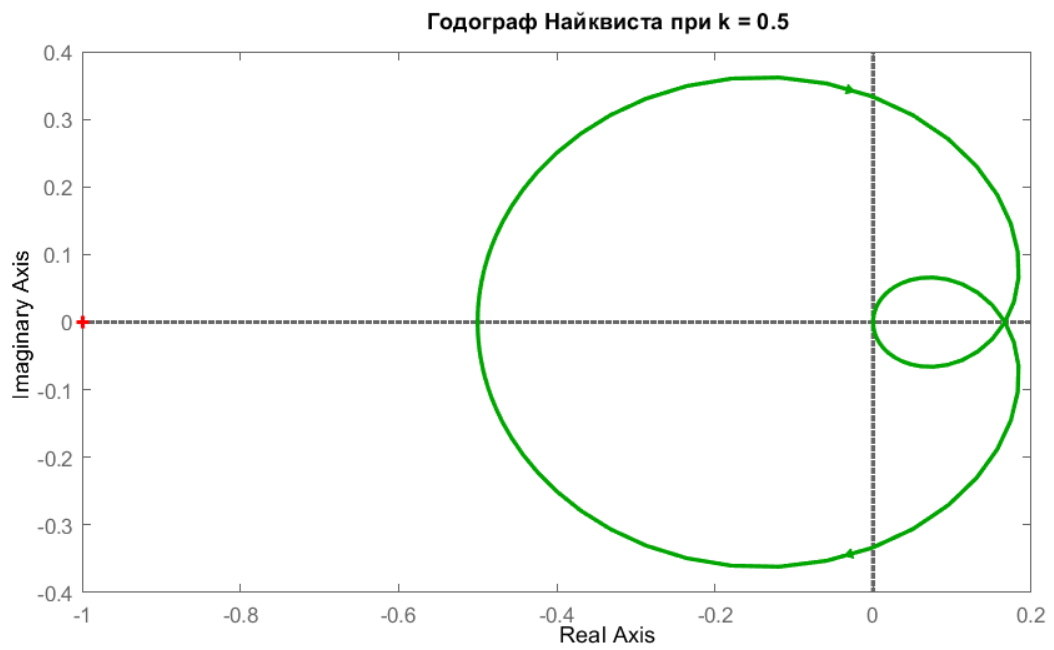


Рисунок 21 — Годограф Найквиста для первой системы при  $k = 0.5$ .

Система 2

$$W_2(s) = \frac{5s^3 - 1.5s^2 + 6.5s - 1}{10s^3 + 8s^2 - 5s + 4} \quad (23)$$

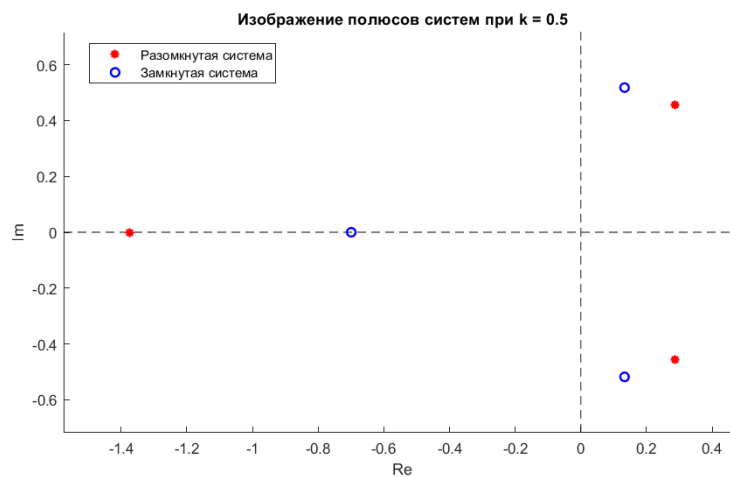


Рисунок 22 — Полюса на комплексной плоскости второй системы при  $k = 0.5$ .

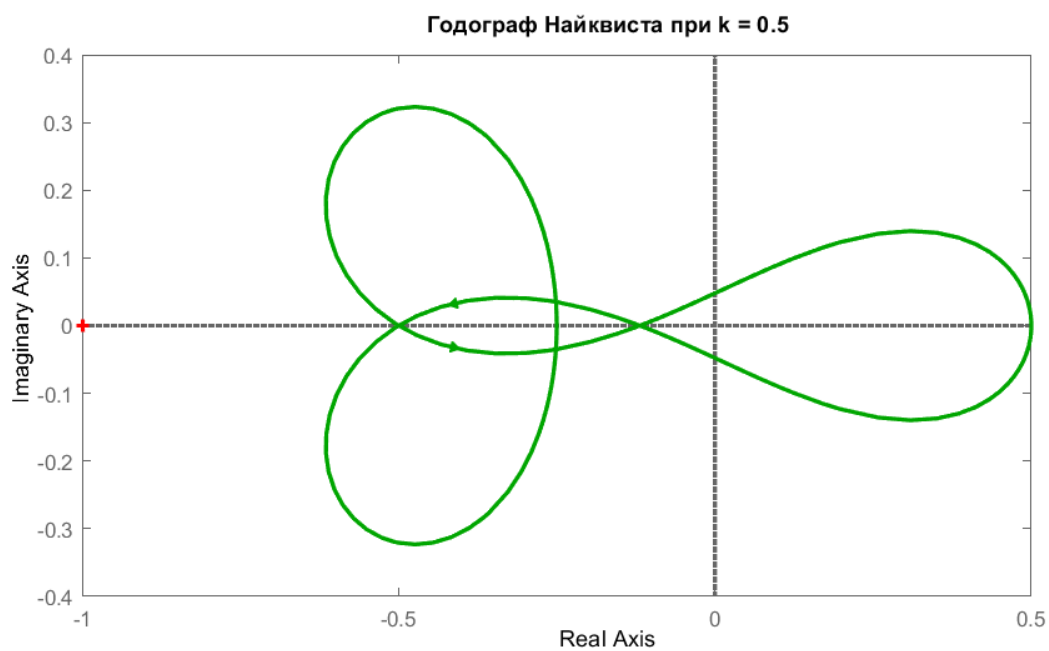


Рисунок 23 — Годограф Найквиста для второй системы при  $k = 0.5$ .

### 2.2.2 $k = 5$

Система 1

$$W_1(s) = \frac{5s - 5}{s^2 + 3s + 1} \quad (24)$$

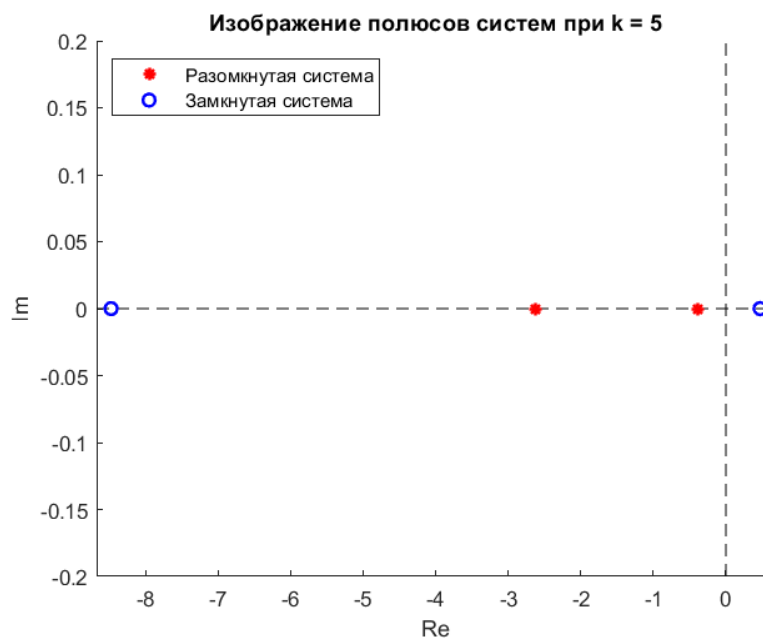


Рисунок 24 — Полюса на комплексной плоскости первой системы при  $k = 5$ .

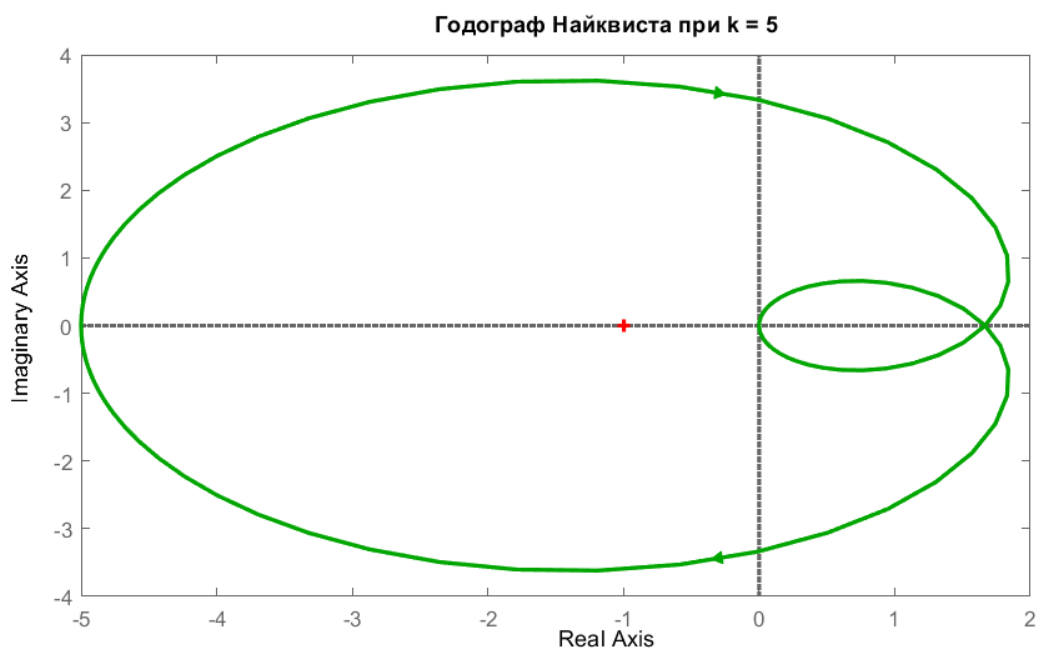


Рисунок 25 — Годограф Найквиста для первой системы при  $k = 5$ .

Система 2

$$W_2(s) = \frac{50s^3 - 15s^2 + 65s - 10}{10s^3 + 8s^2 - 5s + 4} \quad (25)$$

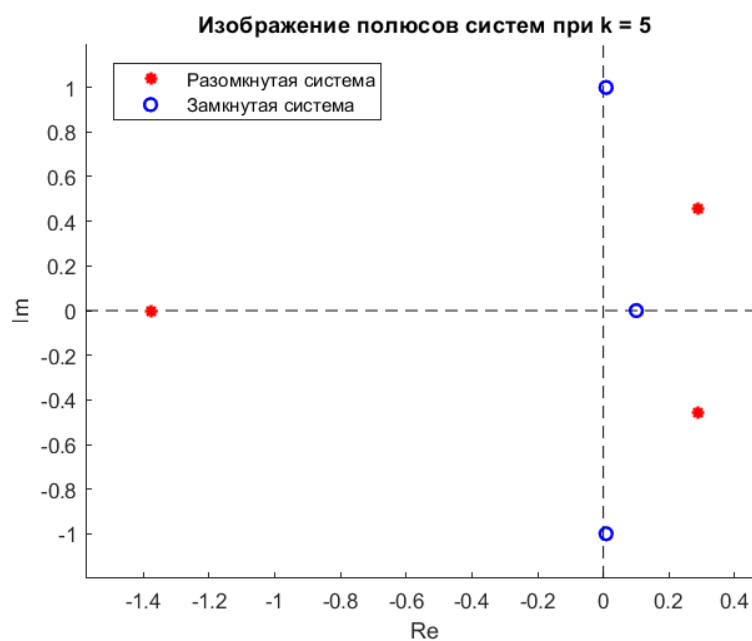


Рисунок 26 — Полюса на комплексной плоскости второй системы при  $k = 5$ .

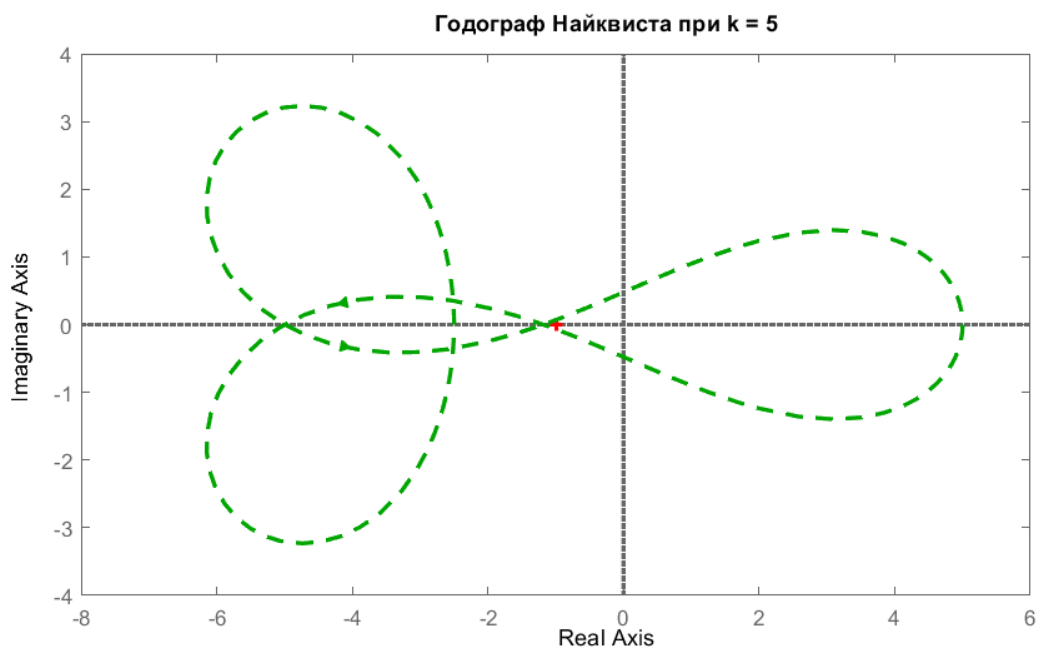


Рисунок 27 — Годограф Найквиста для второй системы при  $k = 5$ .

### 2.2.3 $k = 15$

Система 1

$$W_1(s) = \frac{15s - 15}{s^2 + 3s + 1} \quad (26)$$

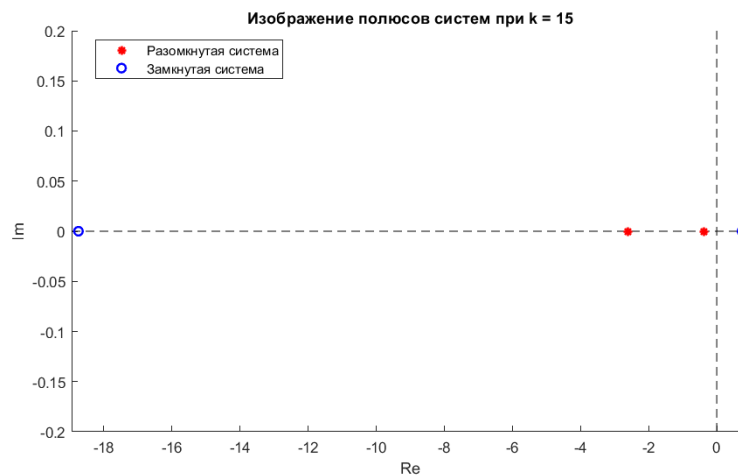


Рисунок 28 — Полюса на комплексной плоскости первой системы при  $k = 15$ .

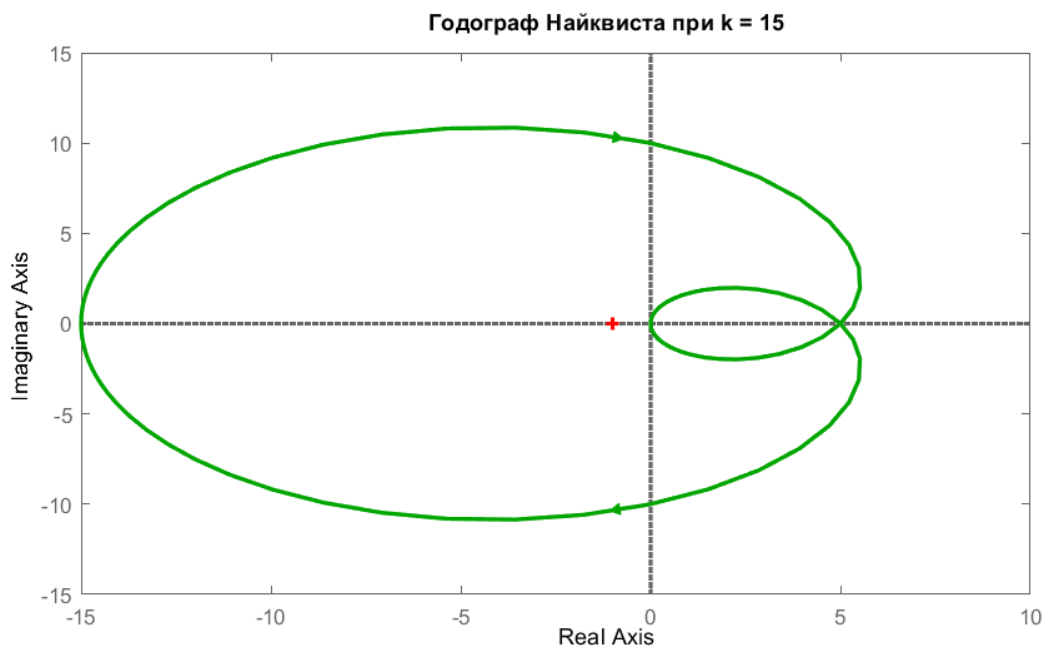


Рисунок 29 — Годограф Найквиста для первой системы при  $k = 15$ .

Система 2

$$W_2(s) = \frac{150s^3 - 45s^2 + 195s - 30}{10s^3 + 8s^2 - 5s + 4} \quad (27)$$

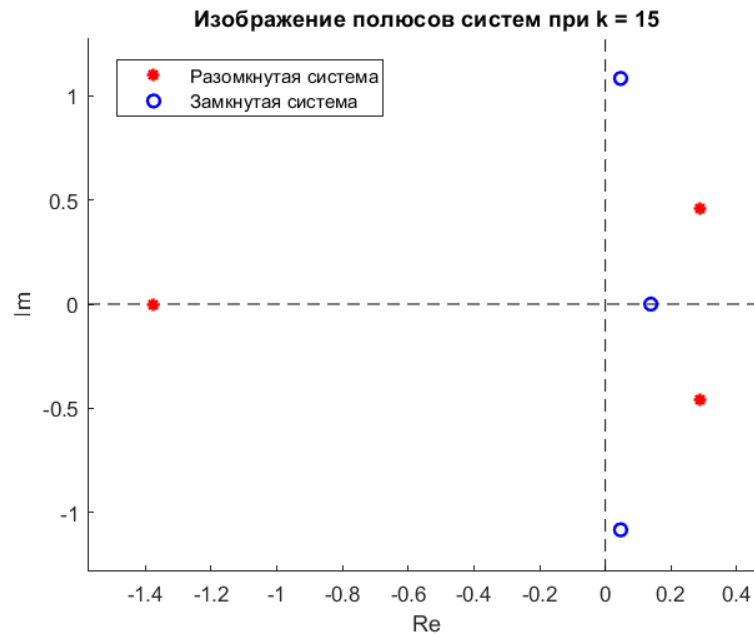


Рисунок 30 — Полюса на комплексной плоскости второй системы при  $k = 15$ .

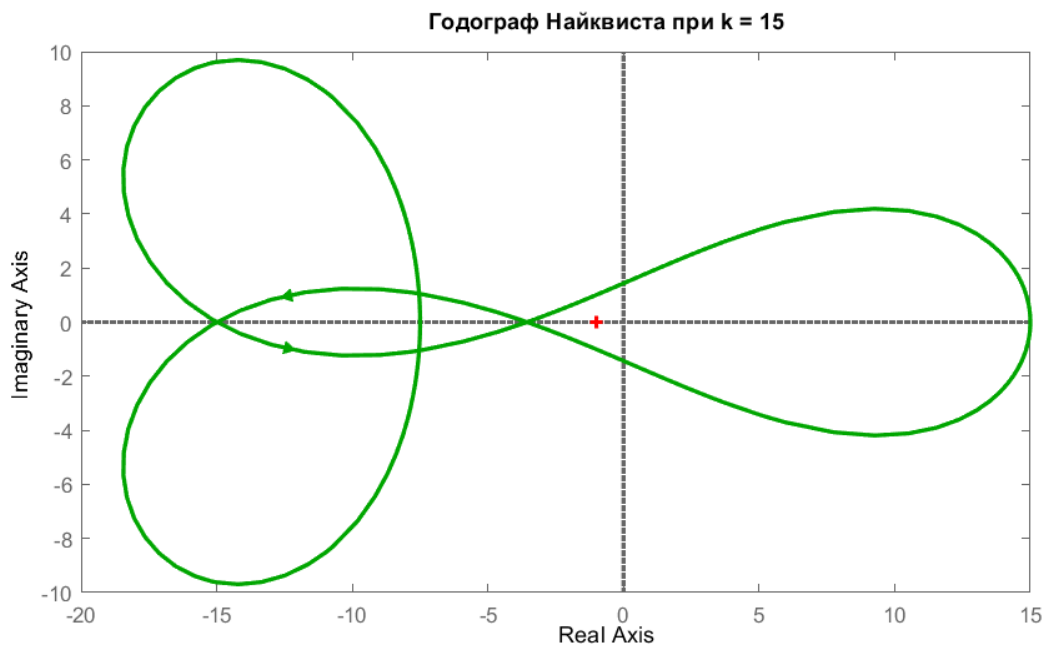


Рисунок 31 — Годограф Найквиста для второй системы при  $k = 15$ .

## Вывод

Заметим, что при малом значении коэффициента  $k = 0.5$ , годограф Найквиста как первой, так и второй системы не совершает оборотов вокруг точки  $(-1, 0)$  и графики находятся полностью правее этой точки. При увеличении до  $k = 5$  годографы Найквиста для обеих систем описывают 1 оборот вокруг точки  $(-1, 0)$ , графики увеличивают масштаб, относительно меньше-



го значения  $k$ . При  $k = 15$  количество оборотов годографов около  $(-1, 0)$  также равняется 1, графики становятся еще более масштабными.

## 2.3 Зависимость устойчивости замкнутой системы от $k$

### 2.3.1 Система 1

$$W_1(s) = k \frac{s - 1}{s^2 + 3s + 1} \quad (28)$$

Найдем значения полюсов разомкнутой системы:

$$\begin{cases} s_1 = -1.5 - \frac{\sqrt{5}}{2} \simeq -2.62 < 0, \\ s_2 = -1.5 + \frac{\sqrt{5}}{2} \simeq -0.382 < 0 \end{cases} \quad (29)$$

Заметим, что разомкнутая система *асимптотически устойчива*.

Найдем значения полюсов замкнутой системы:

$$\begin{aligned} Q(s) + R(s) &= s^2 + 3s + 1 + k(s - 1) = s^2 + s(3 + k) + 1 - k \Rightarrow \\ &\Rightarrow \begin{cases} \sqrt{D} = \sqrt{(3 + k)^2 - 4(1 - k)}, \\ s_1 = \frac{-3 - k - \sqrt{D}}{2}, \\ s_2 = \frac{-3 - k + \sqrt{D}}{2} \end{cases} \end{aligned} \quad (30)$$

Устойчивость системы будет достигаться при  $Re(s_{1,2}) < 0$ . Так как мы рассматриваем  $k > 0$ , то при  $Re(s_{1,2}) = -3 - k$  то есть ( $D \leq 0$ ), система будет устойчивой.

$$\begin{aligned} D &= (3 + k)^2 - 4(1 - k) = k^2 + 6k + 9 - 4 + 4k = k^2 + 10k + 5 \leq 0 \Rightarrow \\ &\Rightarrow \begin{cases} k \geq -5 - 2\sqrt{5}, \\ k \leq -5 + 2\sqrt{5} \end{cases} \end{aligned} \quad (31)$$

Рассмотрим случай  $D > 0$ , следовательно,  $Re(s_{1,2}) = s_{1,2}$ .

$$\begin{cases} \sqrt{D} = \sqrt{(3+k)^2 - 4(1-k)}, \\ s_1 = \frac{-3-k-\sqrt{D}}{2} < 0, \\ s_2 = \frac{-3-k+\sqrt{D}}{2} < 0 \end{cases} \quad (32)$$

Либо найдем значения  $k$ , при которых система неустойчива:

$$\begin{aligned} \frac{-3-k+\sqrt{D}}{2} > 0 &\Rightarrow \frac{-3-k+\sqrt{k^2+10k+5}}{2} > 0 \Rightarrow \\ &\Rightarrow -3-k+\sqrt{k^2+10k+5} > 0 \Rightarrow \sqrt{k^2+10k+5} > 3+k \Rightarrow \\ &\Rightarrow k^2+10k+5 > k^2+6k+9 \Rightarrow 4k > 4 \Rightarrow k > 1 \end{aligned} \quad (33)$$

### Вывод

Замкнутая система устойчива при  $k \in (0, 1)$  и неустойчива (имеет один неустойчивый полюс) при  $k > 1$ .

### 2.3.2 Система 2

$$W_2(s) = k \frac{10s^3 - 3s^2 + 13s - 2}{10s^3 + 8s^2 - 5s + 4} \quad (34)$$

Найдем значения полюсов разомкнутой системы:

$$\begin{cases} s_1 \simeq -1.3751, \\ s_2 \simeq 0.28757 - 0.45628i \Rightarrow Re(s_2) > 0, \\ s_3 \simeq 0.28757 + 0.45628i \Rightarrow Re(s_3) > 0 \end{cases} \quad (35)$$

Заметим, что разомкнутая система неустойчива.

Найдем значения  $k$ , при которых замкнутая система является устойчивой:

$$\begin{aligned} Q(s) + R(s) &= 10s^3 + 8s^2 - 5s + 4 + k(10s^3 - 3s^2 + 13s - 2) = \\ &= (10 + 10k)s^3 + (8 - 3k)s^2 + (13k - 5)s + 4 - 2k \end{aligned} \quad (36)$$

Воспользуемся критерием Гурвица:

$$\begin{cases} a_3 > 0, \\ a_2 > 0, \\ a_1 > 0, \\ a_0 > 0, \\ a_2 a_1 > a_3 a_0 \end{cases} \Rightarrow \begin{cases} 10 + 10k > 0, \\ 8 - 3k > 0, \\ 13k - 5 > 0, \\ 4 - 2k > 0, \\ (8 - 3k)(13k - 5) > (10 + 10k)(4 - 2k) \end{cases} \Rightarrow$$

$$\Rightarrow \begin{cases} k > -1, \\ k < \frac{8}{3}, \\ k > \frac{5}{13}, \\ k < 2, \\ 1 < k < \frac{80}{19} \end{cases} \Rightarrow k \in (1, 2) \quad (37)$$

### Вывод

При  $k \in (1, 2)$  система устойчива.

**Следующие зависимости были получены графическим путем:**

при  $k \in (0, 1)$  система имеет 2 неустойчивых полюса, при  $k \in (2, \frac{80}{19})$  система имеет 1 неустойчивый полюс, при  $k > \frac{80}{19}$  система имеет 3 неустойчивых полюса.

### Дополнительное обоснование

Кроме того, для случаев с неустойчивыми полюсами можно провести исследование количества смен знака (правило Декарта):

– при  $k \in (0, 1)$  в выражении

$$\begin{aligned} Q(s) + R(s) &= 10s^3 + 8s^2 - 5s + 4 + k(10s^3 - 3s^2 + 13s - 2) = \\ &= (10 + 10k)s^3 + (8 - 3k)s^2 + (13k - 5)s + 4 - 2k \end{aligned} \quad (38)$$

будет 0 переходов через знак при  $k \in [\frac{5}{13}; 1)$  все коэффициенты окажутся положительными (либо равные нулю), либо 2 перехода через знак при  $k \in (0, \frac{5}{13})$ , так как все коэффициенты будут положительными, а коэффициент при  $s$  – отрицательным. Следовательно, на исследуемом промежутке либо 0 неустойчивых полюсов, либо 2 и так как устойчивая зона уже найдена ранее и не имеет пересечений с  $k \in (0, 1)$ , на этом промежутке 2 неустойчивых полюса;

– при  $k \in (2, \frac{80}{19})$  в выражении

$$\begin{aligned} Q(s) + R(s) &= 10s^3 + 8s^2 - 5s + 4 + k(10s^3 - 3s^2 + 13s - 2) = \\ &= (10 + 10k)s^3 + (8 - 3k)s^2 + (13k - 5)s + 4 - 2k \end{aligned} \quad (39)$$

будет 1 переход через знак, все коэффициенты, кроме  $a_0$  окажутся положительными (либо равные нулю), а  $a_0$  – отрицательным при  $k \in (2, \frac{8}{3}]$ , следовательно, один неустойчивый полюс. В случае  $k \in (\frac{8}{3}, \frac{80}{19})$  будет 3 смены знака, что говорит нам о наличии либо 1, либо 3 неустойчивых полюсов, здесь решение было принято на основе анализа графических данных. В итоге, при  $k \in (2, \frac{80}{19})$  один неустойчивый полюс (рисунок 32).

– при  $k > \frac{80}{19}$  в выражении

$$\begin{aligned} Q(s) + R(s) &= 10s^3 + 8s^2 - 5s + 4 + k(10s^3 - 3s^2 + 13s - 2) = \\ &= (10 + 10k)s^3 + (8 - 3k)s^2 + (13k - 5)s + 4 - 2k \end{aligned} \quad (40)$$

будет 3 смены знака, что говорит нам о наличии либо 1, либо 3 неустойчивых полюсов, здесь решение было принято на основе анализа графических данных. При  $k > \frac{80}{19}$  три неустойчивых полюса (рисунок 33 - пограничное значение и рисунок 34).

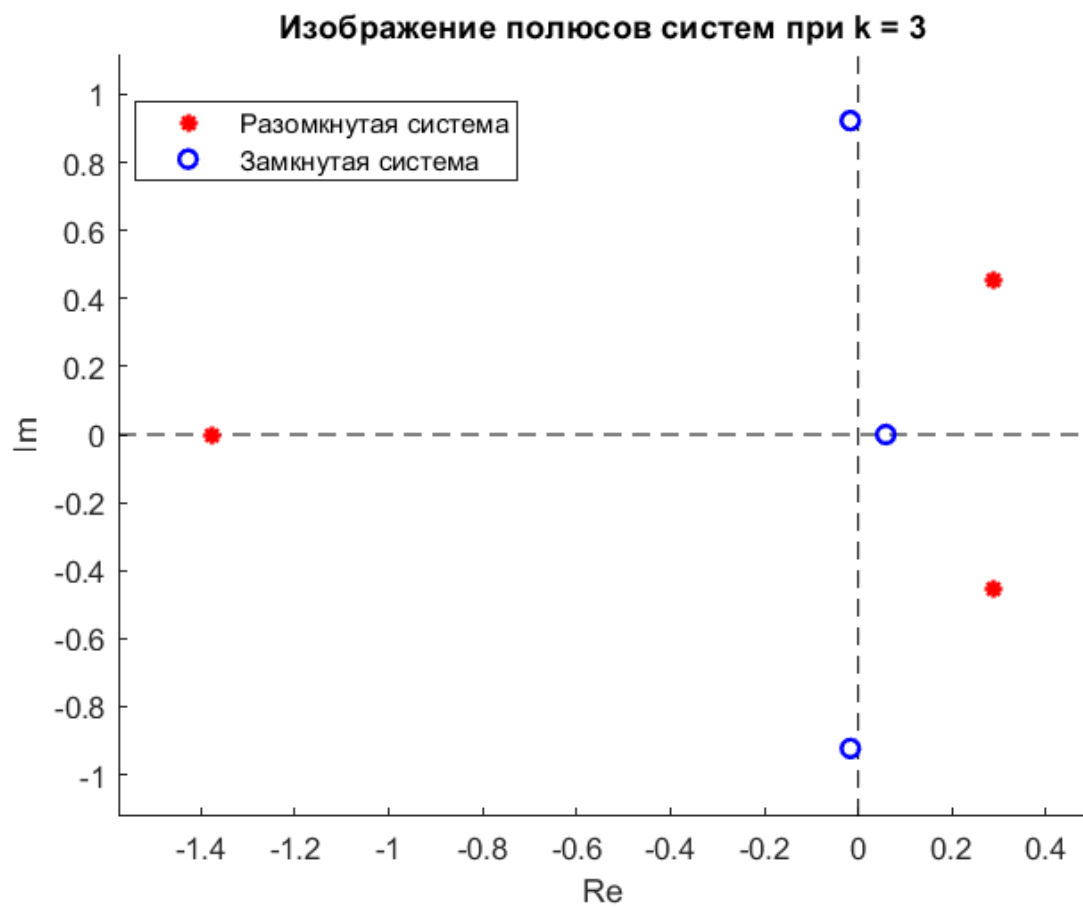


Рисунок 32 — Карта полюсов второй системы при  $k = 3$ .

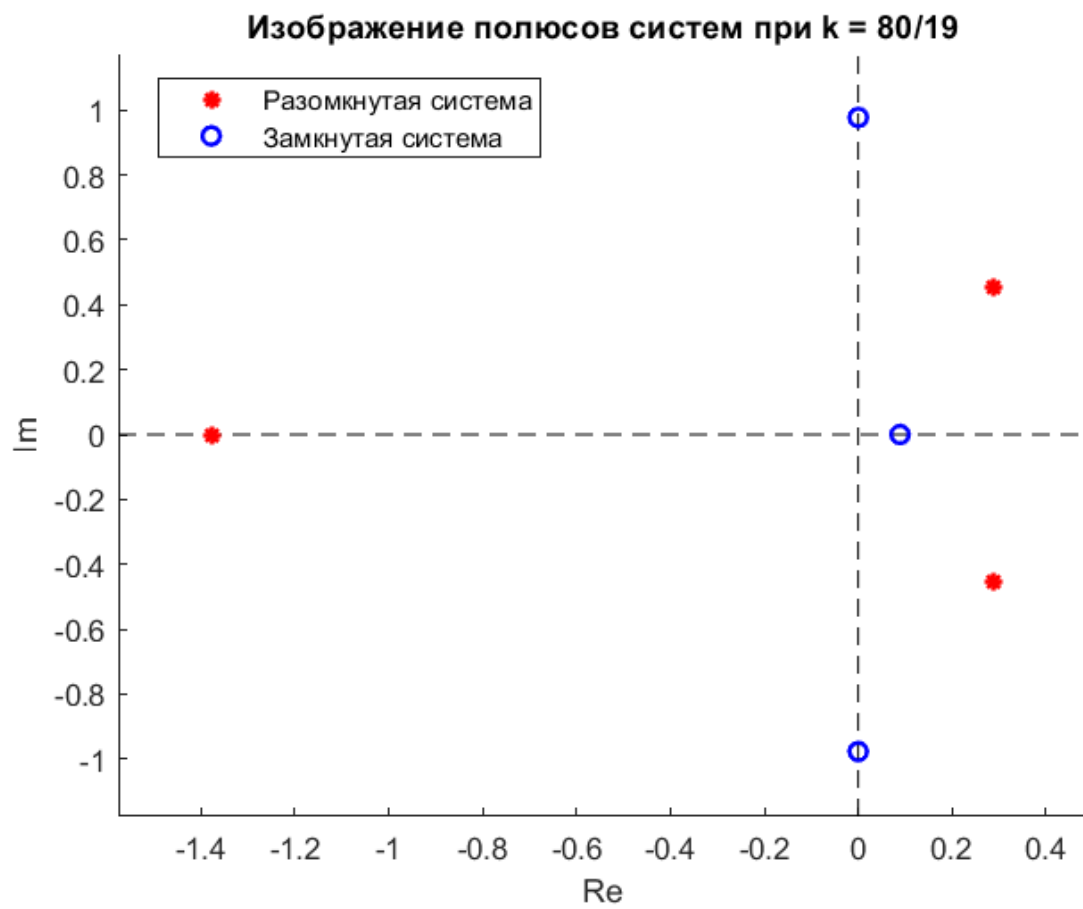


Рисунок 33 — Карта полюсов второй системы при  $k = \frac{80}{19}$ .

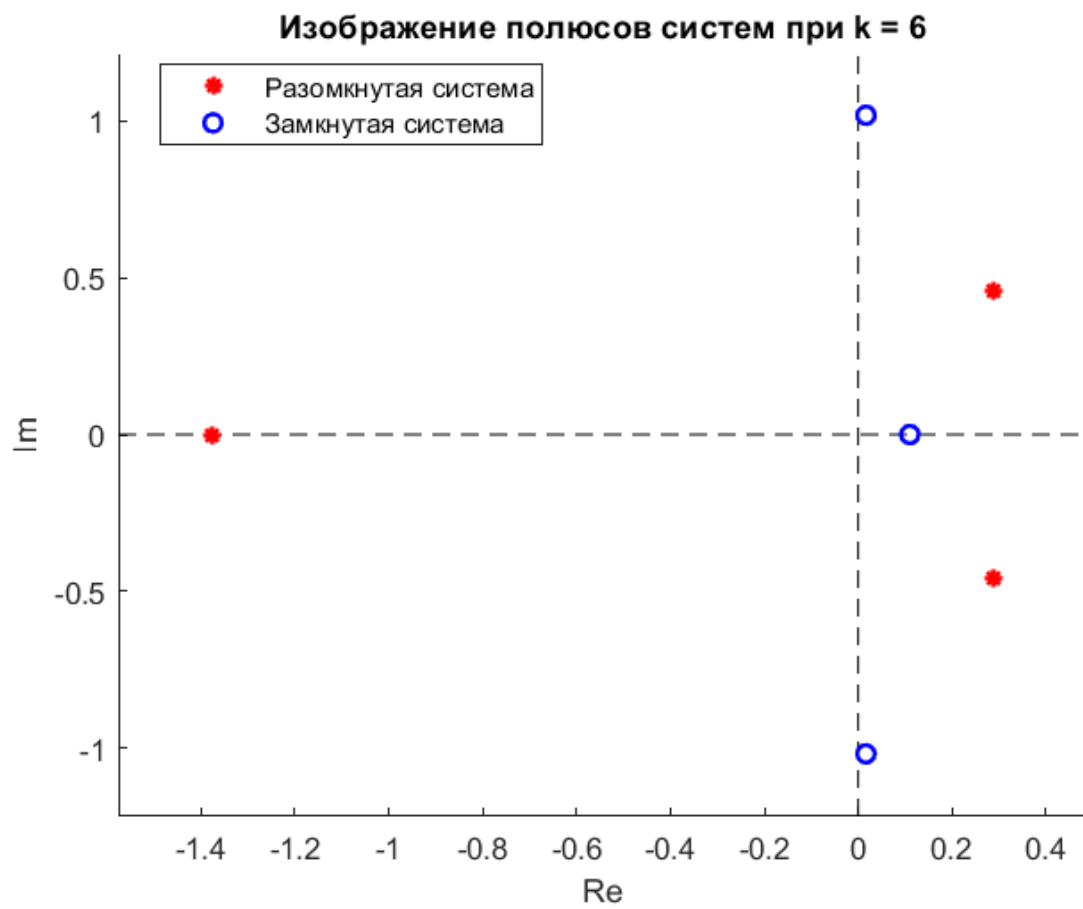


Рисунок 34 — Карта полюсов второй системы при  $k = 6$ .

## 2.4 Определение запаса устойчивости

### 2.4.1 Система 1

$$W_1(s) = k \frac{s - 1}{s^2 + 3s + 1} \quad (41)$$

Запас устойчивости по амплитуде не может быть вычислен, так как система не является устойчивой при  $k = 1$ .

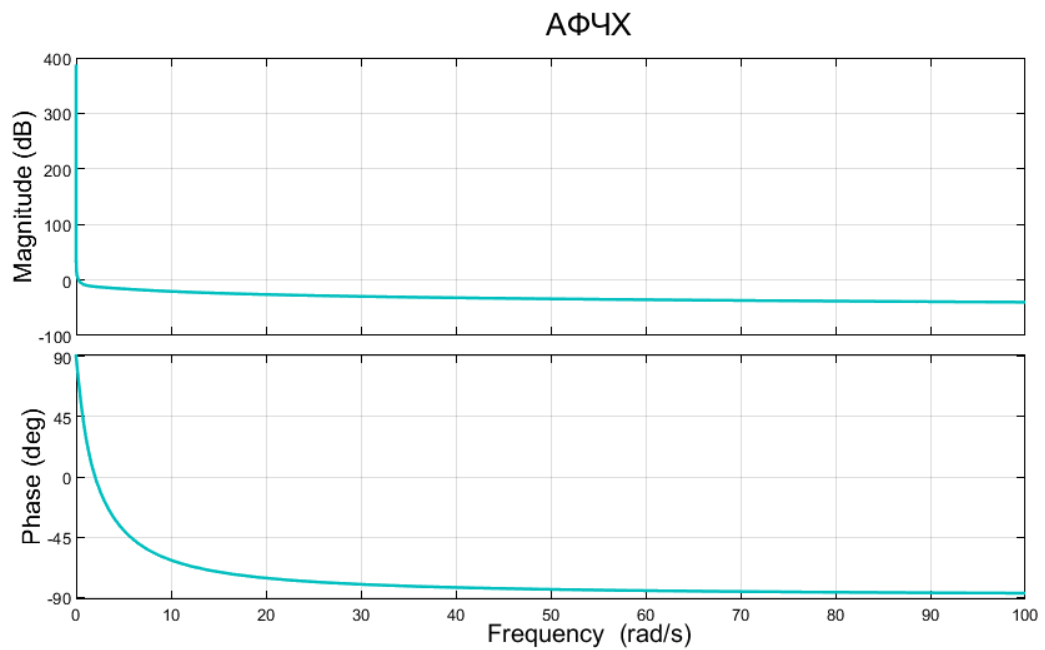


Рисунок 35 — АФЧХ замкнутой системы.



## 2.4.2 Система 2

$$W_2(s) = \frac{10s^3 - 3s^2 + 13s - 2}{10s^3 + 8s^2 - 5s + 4} \quad (42)$$

Запас устойчивости по амплитуде не может быть вычислен, так как система не является устойчивой при  $k = 1$ .

## 2.5 Выполнение моделирования

### 2.5.1 Система 1

$$W_1(s) = k \frac{s - 1}{s^2 + 3s + 1} \quad (43)$$

Проведем моделирование при  $k = 0.5$ , что соответствует устойчивой системе, при  $k = 1$  – на границе устойчивости, и при  $k = 1.5$ , при котором система неустойчива (имеет один неустойчивый полюс).

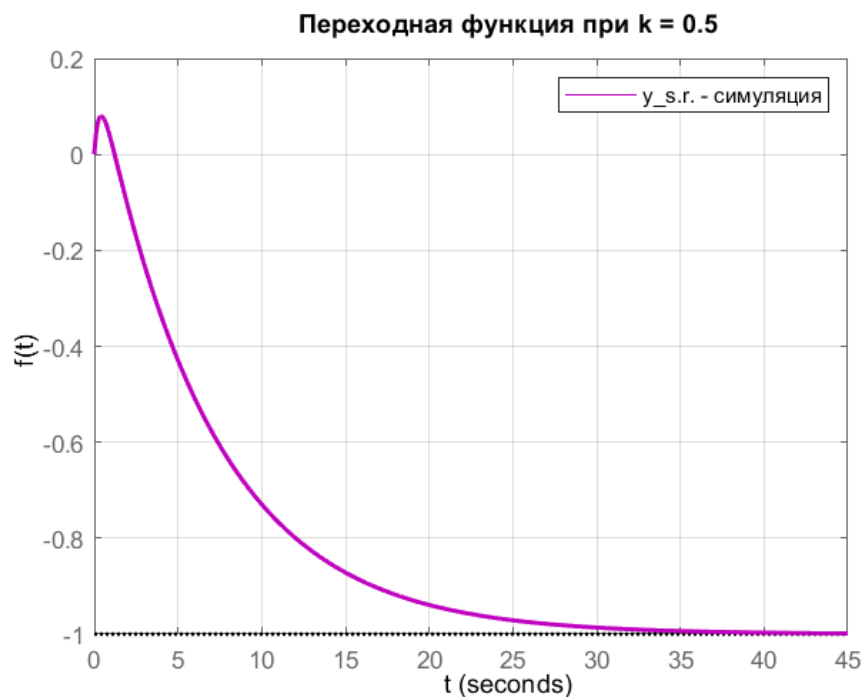


Рисунок 36 — Переходная функция при  $k = 0.5$ .

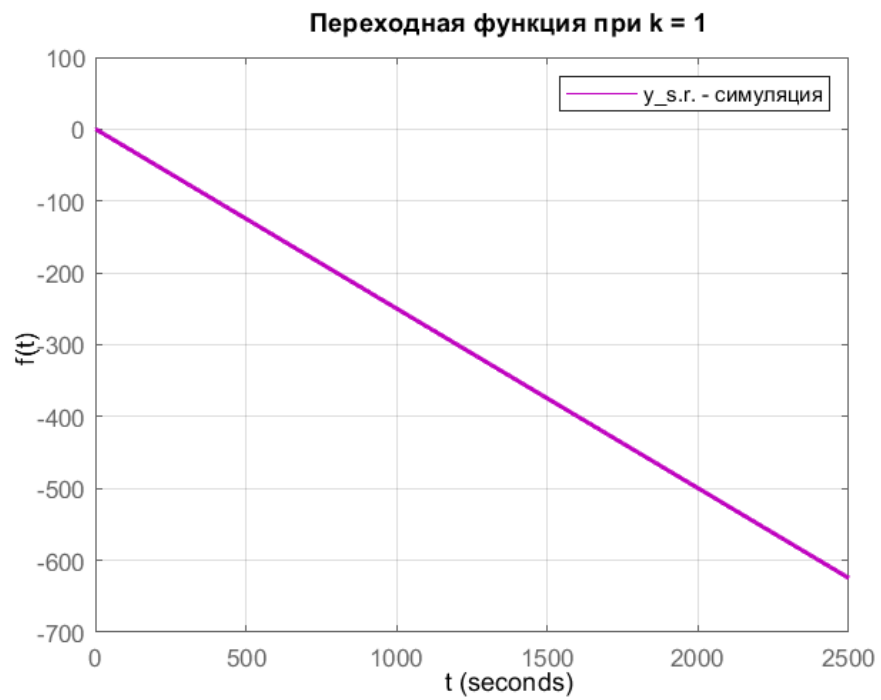


Рисунок 37 — Переходная функция при  $k = 1$ .

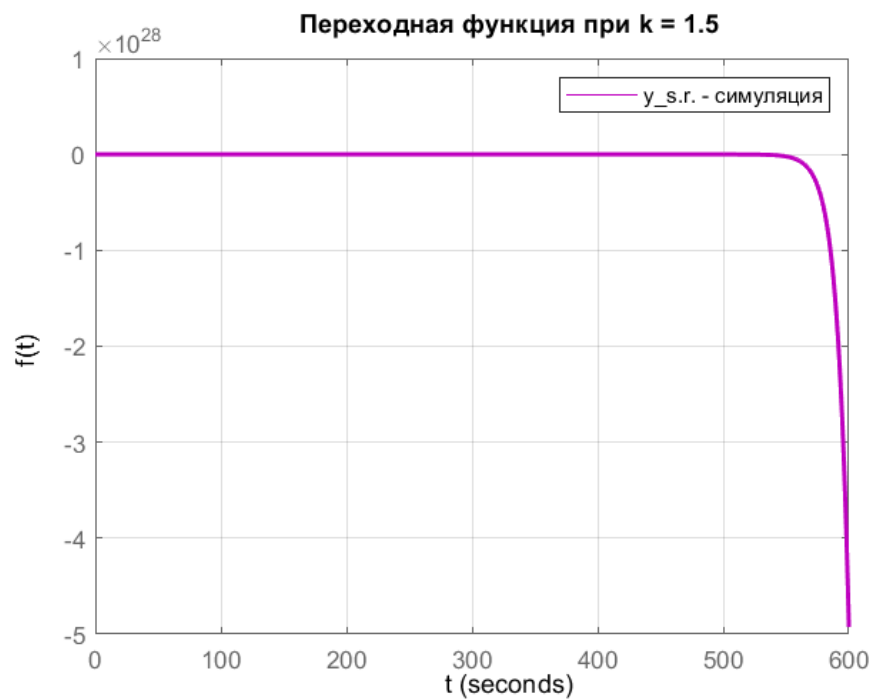


Рисунок 38 — Переходная функция при  $k = 1.5$ .

## 2.5.2 Система 2

Проведем моделирование для  $k = 0.5$  (система имеет два неустойчивых полюса),  $k = 1.5$  (система устойчива),  $k = 3$  (система имеет один неустойчивый полюс),  $k = 6$  (система имеет три неустойчивых полюса).

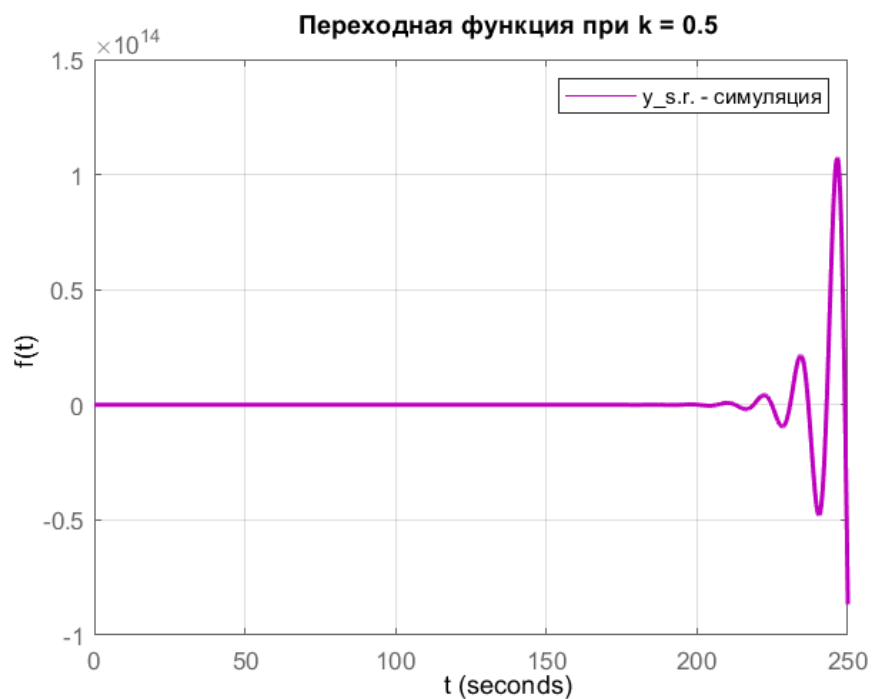


Рисунок 39 — Переходная функция при  $k = 0.5$ .

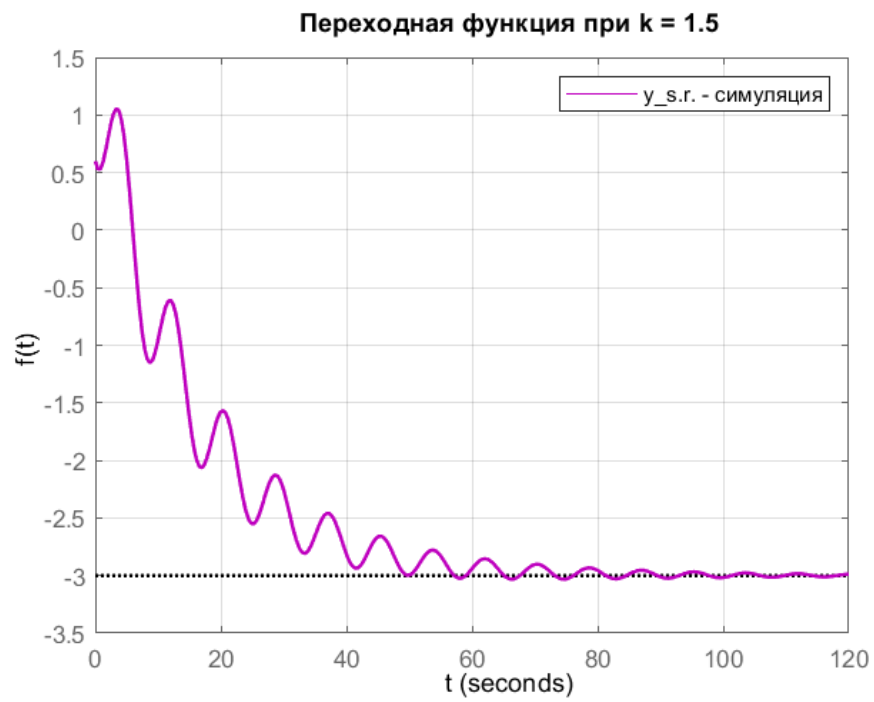


Рисунок 40 — Переходная функция при  $k = 1.5$ .

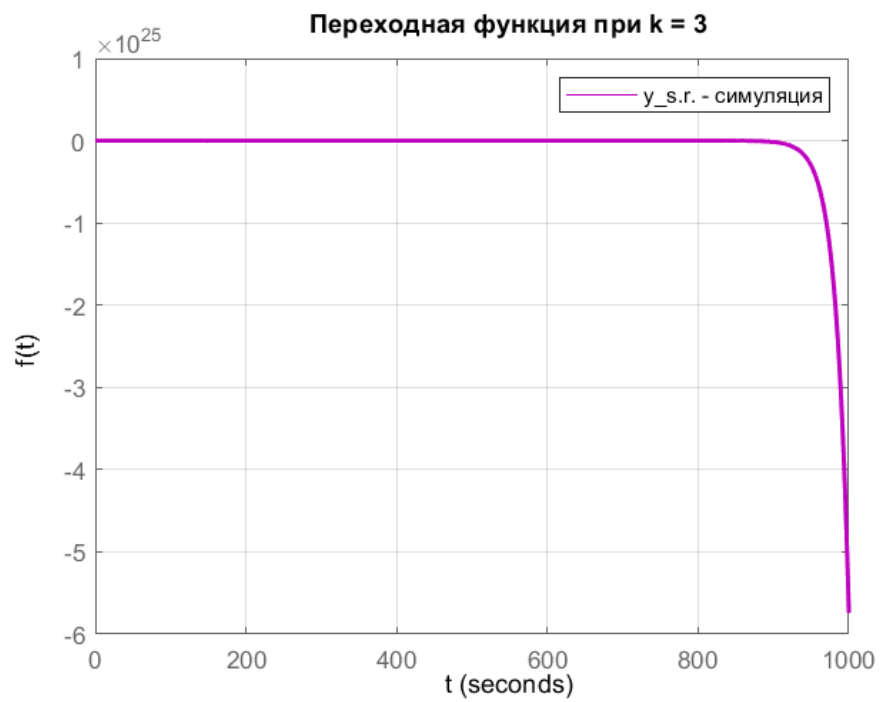


Рисунок 41 — Переходная функция при  $k = 3$ .

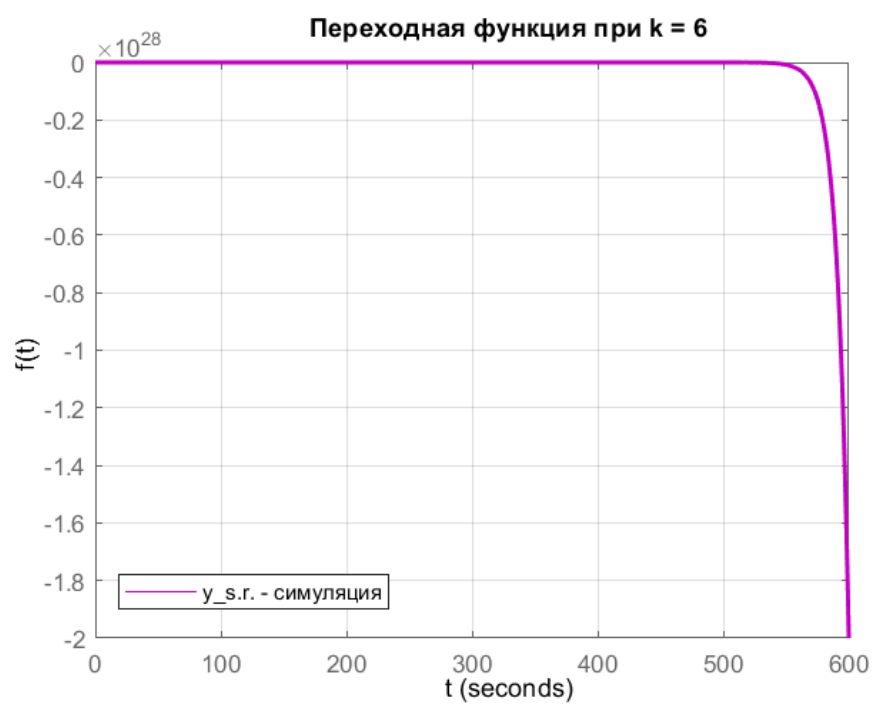


Рисунок 42 — Переходная функция при  $k = 6$ .

### 3 ЗАПАЗДЫВАНИЕ

В нашем случае  $j = 3$ , что соответствует следующим передаточным функциям.

$$W_3(s) = \frac{2s + 9}{s^2 + s + 9} \quad (44)$$

$$W_4(s) = \frac{10s^2 - 10s + 13}{10s^3 + 37s + 25} \quad (45)$$

К каждой функции добавим звено чистого запаздывания  $e^{-rs}$

$$W_3(s) = \frac{2s + 9}{s^2 + s + 9} e^{-rs} \quad (46)$$

$$W_4(s) = \frac{10s^2 - 10s + 13}{10s^3 + 37s + 25} e^{-rs} \quad (47)$$

#### 3.1 Построение годографа Найквиста

Построим годограф Найквиста для значений коэффициента запаздывания  $r = 0$  и  $r = 0.5$

##### 3.1.1 Система 1

При  $r = 0$

$$W_3(s) = \frac{2s + 9}{s^2 + s + 9} \quad (48)$$

При  $r = 0.5$

$$W_3(s) = \frac{2s + 9}{s^2 + s + 9} e^{-0.5s} \quad (49)$$

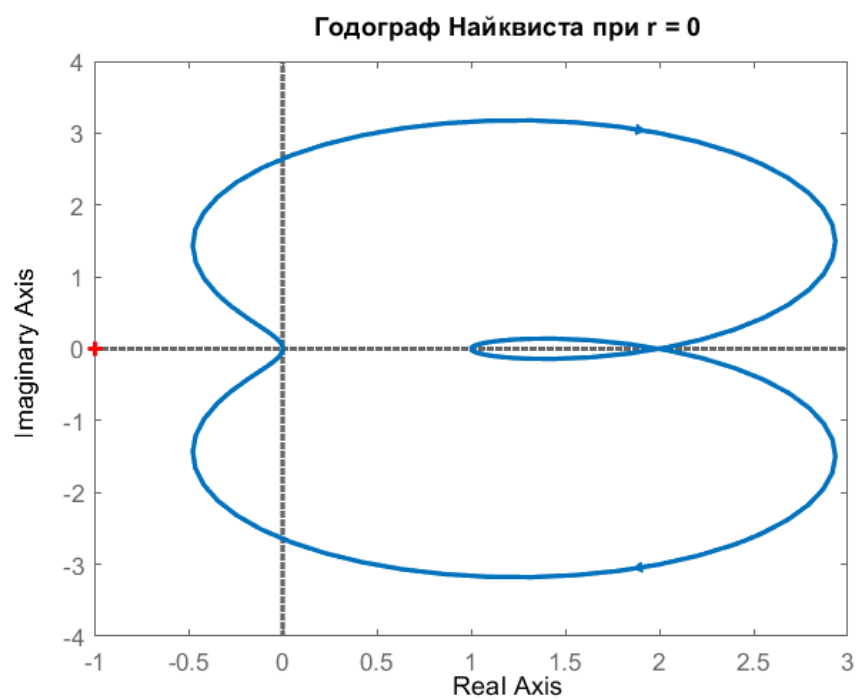


Рисунок 43 — Годограф Найквиста для  $W_3(s)$  при  $r = 0$ .

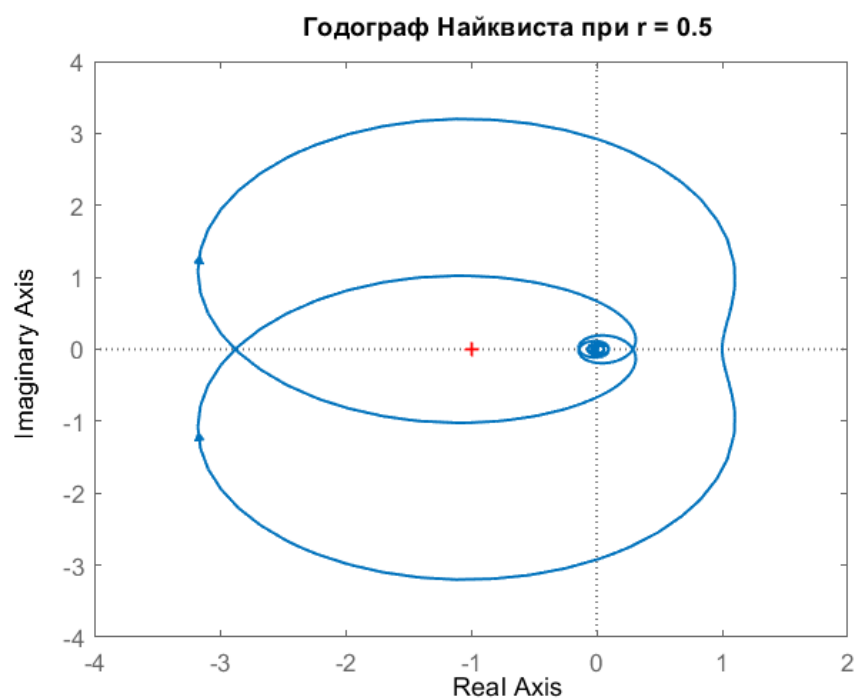


Рисунок 44 — Годограф Найквиста для  $W_3(s)$  при  $r = 0.5$ .

### 3.1.2 Система 2

При  $r = 0$

$$W_4(s) = \frac{10s^2 - 10s + 13}{10s^3 + 37s + 25} \quad (50)$$

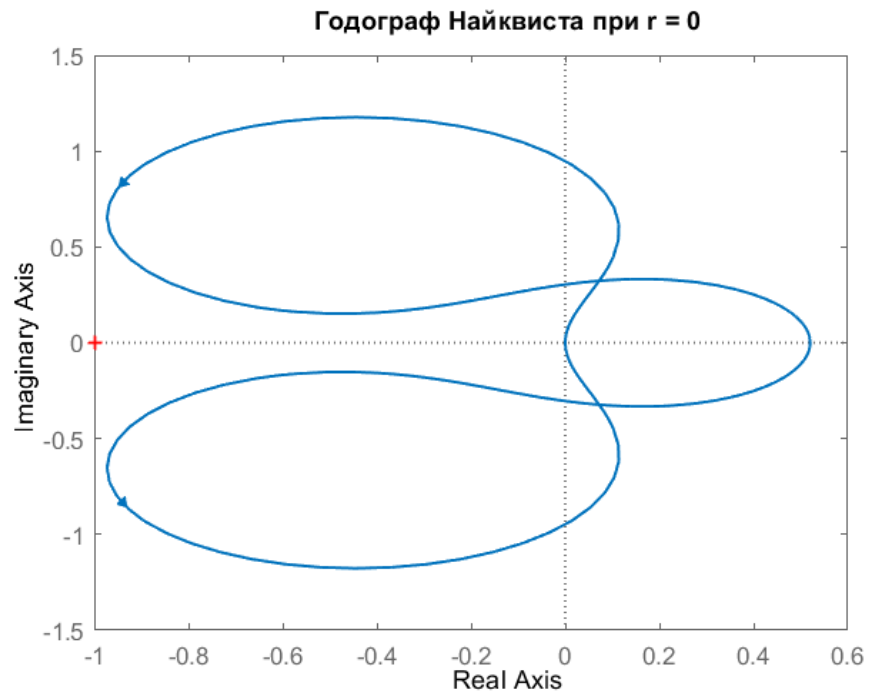


Рисунок 45 — Годограф Найквиста для  $W_4(s)$  при  $r = 0$ .

При  $r = 0.5$

$$W_4(s) = \frac{10s^2 - 10s + 13}{10s^3 + 37s + 25} e^{-0.5s} \quad (51)$$



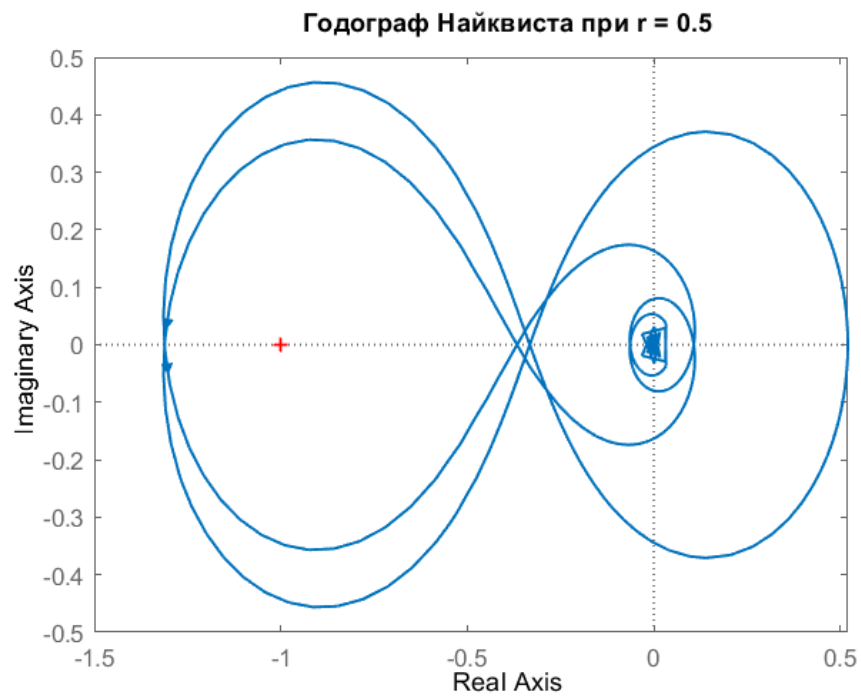


Рисунок 46 — Годограф Найквиста для  $W_4(s)$  при  $r = 0.5$ .

### 3.2 Влияние коэффициента запаздывания на кривую годографа

Рассмотрим влияние коэффициента запаздывания на кривую годографа при  $r = 0.2, 1, 5$

#### 3.2.1 Система 1

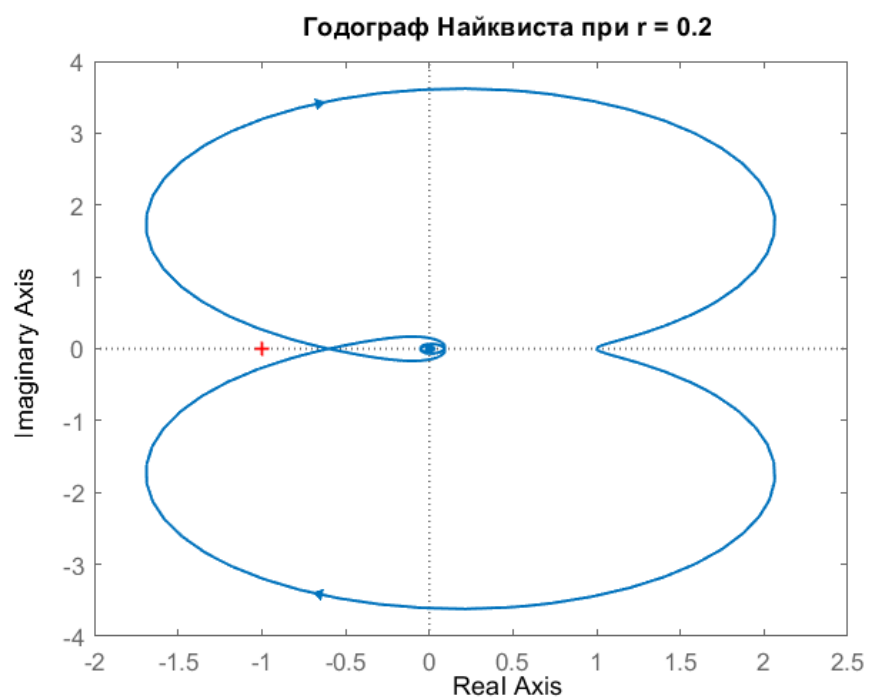


Рисунок 47 — Годограф Найквиста для  $W_3(s)$  при  $r = 0.2$ .

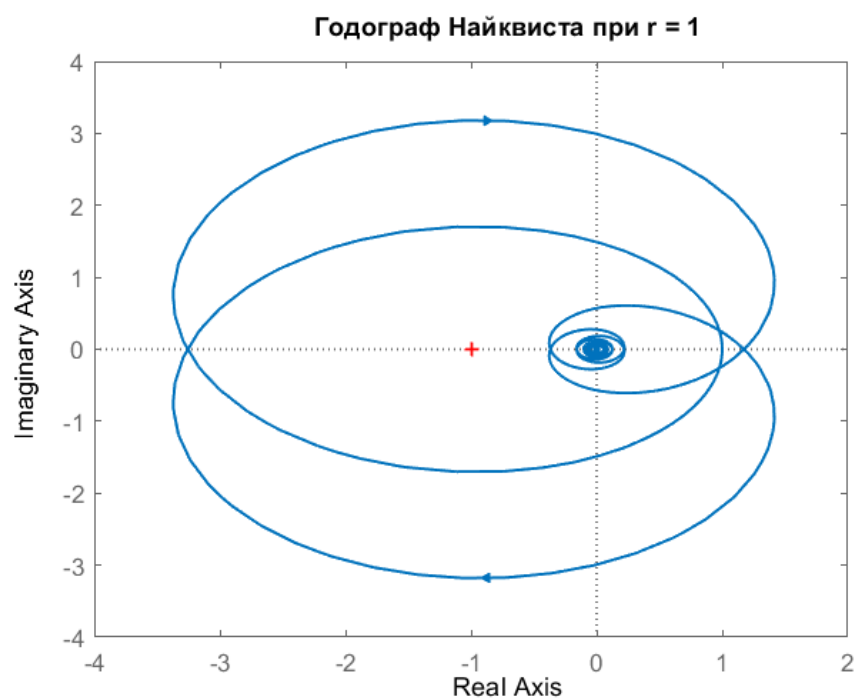


Рисунок 48 — Годограф Найквиста для  $W_3(s)$  при  $r = 1$ .

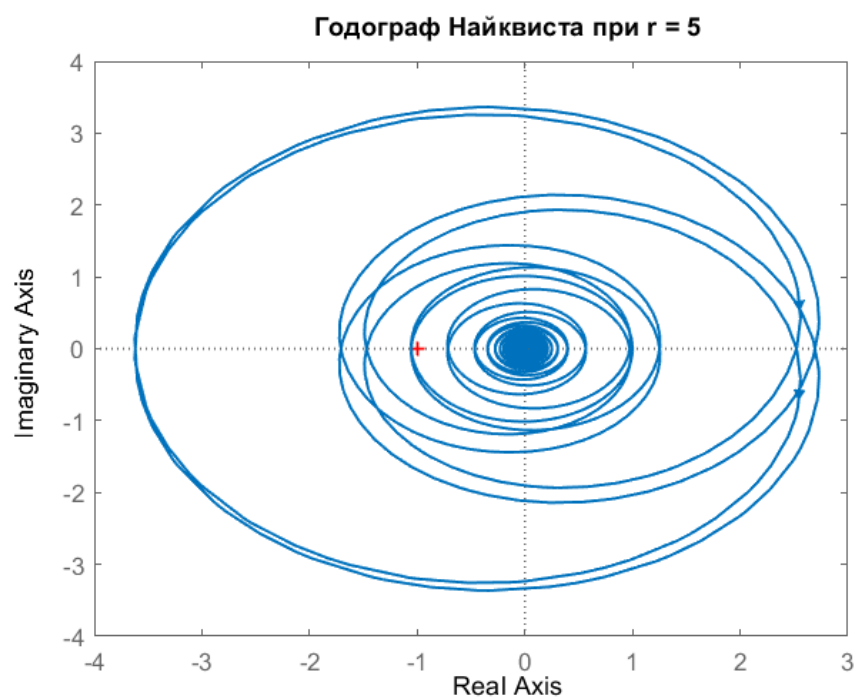


Рисунок 49 — Годограф Найквиста для  $W_3(s)$  при  $r = 5$ .

### 3.2.2 Система 2

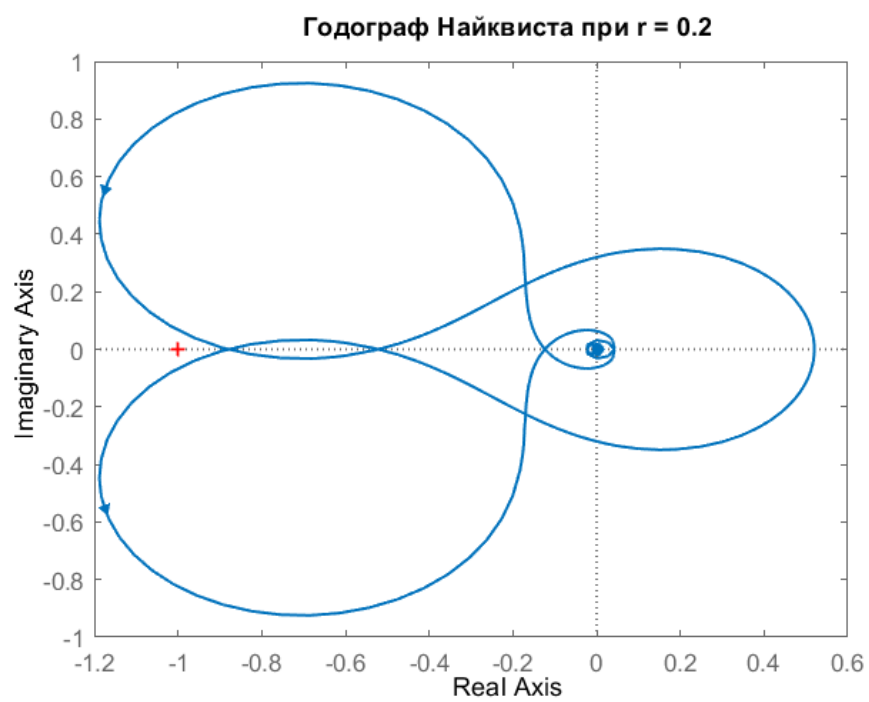


Рисунок 50 — Годограф Найквиста для  $W_4(s)$  при  $r = 0.2$ .

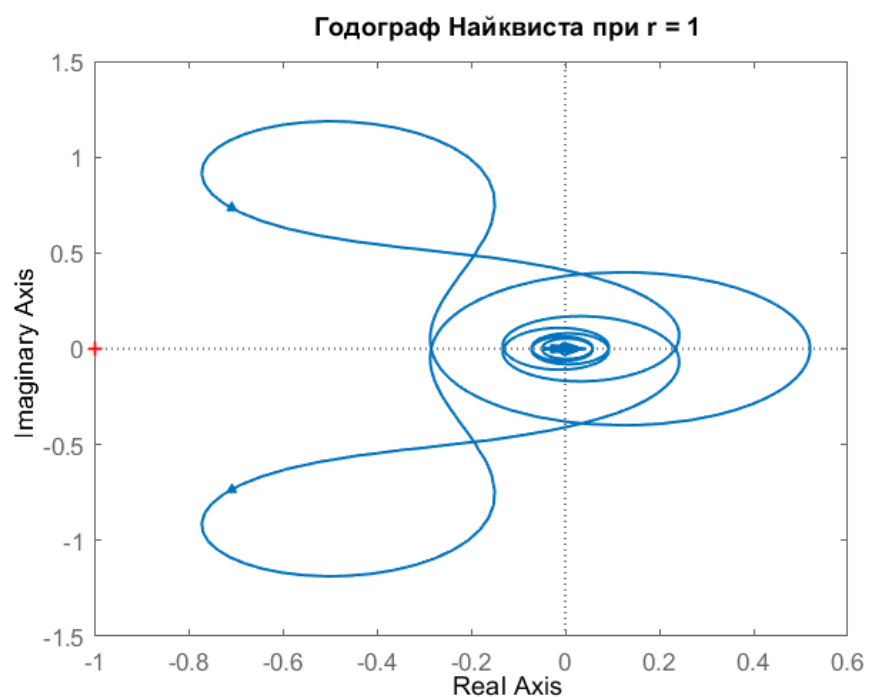


Рисунок 51 — Годограф Найквиста для  $W_4(s)$  при  $r = 1$ .

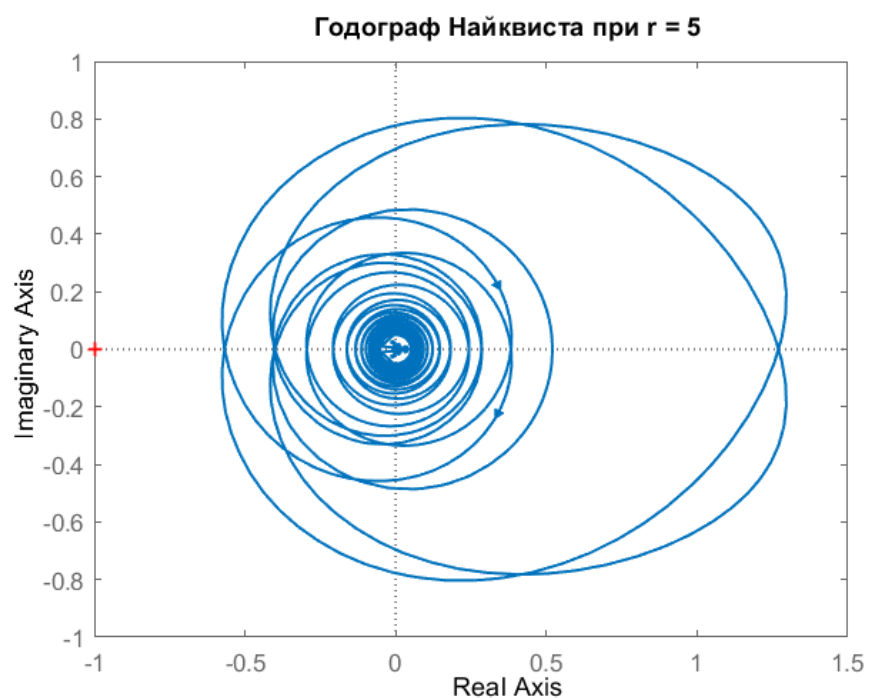


Рисунок 52 — Годограф Найквиста для  $W_4(s)$  при  $r = 5$ .

## Вывод

Для обеих систем справедливо: при увеличении значения коэффициента запаздывания график годографа Найквиста совершает больше оборотов около точки начала координат.

### 3.3 Нахождение значений $r$ , при которых система устойчива

#### 3.3.1 Система 1

$$W_3(s) = \frac{2s + 9}{s^2 + s + 9} \quad (52)$$

Полюса разомкнутой системы устойчивы, так как  $Re(s_{1,2}) < 0$ :

$$s_{1,2} = -0.5 \pm \frac{i\sqrt{35}}{2} \quad (53)$$

Построим ЛАФЧХ разомкнутой системы

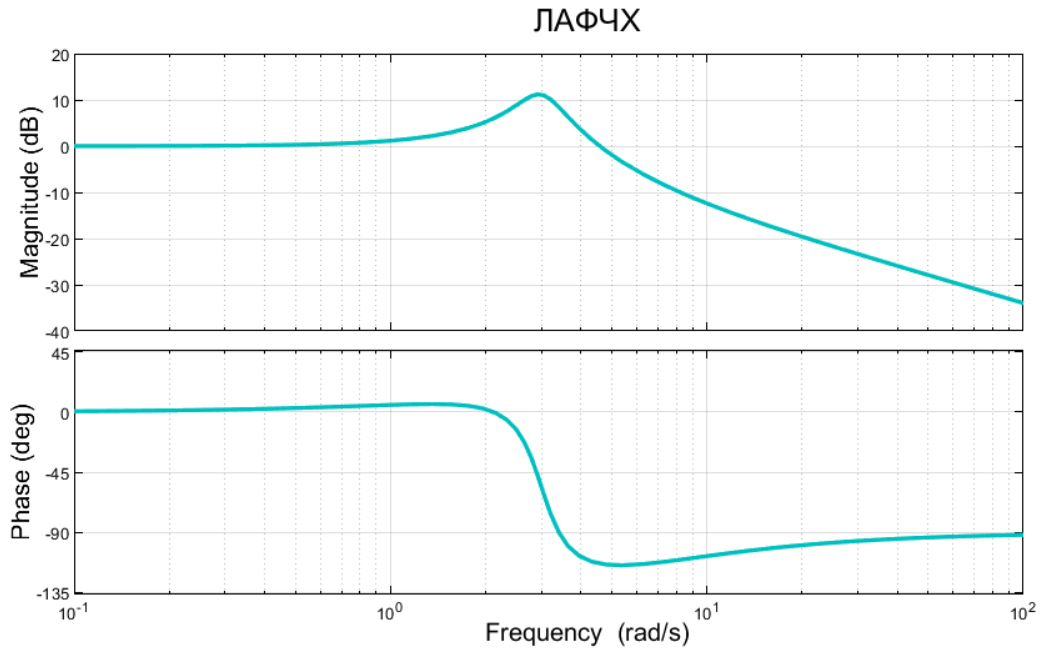


Рисунок 53 — ЛАФЧХ для  $W_3(s)$ .

Нас интересует значение частоты, при котором амплитуда  $A = 1$ , то есть на графике ЛФЧХ это точка пересечения с осью абсцисс, то есть  $\omega(Magnitude = 0) \simeq 4.591 \text{ rad/s}$ , фаза при данной частоте  $\phi(4.591) \simeq -113.35^\circ$ , соответственно,  $r$ , при котором будет меняться тип устойчивости системы:

$$r = \frac{(180 - 113.35)\pi}{180 \cdot 4.591} \simeq 0.08\pi \simeq 0.25 \quad (54)$$

Система устойчива при  $r \in [0, 0.25)$  и неустойчива при  $r > 0.25$ .

Запас устойчивости по фазе  $\simeq \frac{66.65\pi}{180} \simeq 1.16$ .

### 3.3.2 Система 2

$$W_4(s) = \frac{10s^2 - 10s + 13}{10s^3 + 37s + 25} \quad (55)$$

Полюса системы:

$$\begin{cases} s_1 \simeq -0.61332 \Rightarrow \operatorname{Re}(s_1) < 0, \\ s_{2,3} \simeq 0.3067 \pm 1.9955i \Rightarrow \operatorname{Re}(s_1) > 0 \end{cases} \quad (56)$$

Один устойчивый полюс и два неустойчивых. Годограф не совершает оборотов вокруг  $(-1,0)$ .

Построим ЛАФЧХ разомкнутой системы

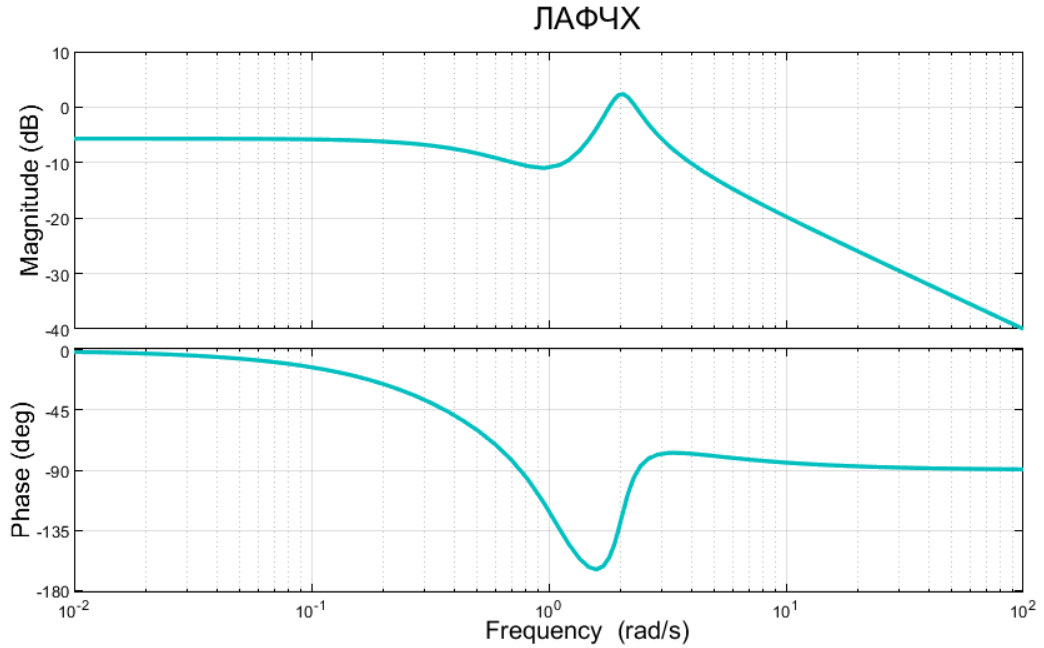


Рисунок 54 — ЛАФЧХ для  $W_4(s)$ .

Нас интересует значение частоты, при котором амплитуда  $A = 1$ , то есть на графике ЛФЧХ это точка пересечения с осью абсцисс, то есть  $\omega_{1,2}(\text{Magnitude} = 0) \simeq 1.7978, 2.3296 \text{ rad/s}$ , фаза при данной частоте  $\phi_1(1.7978) \simeq -155.58^\circ$ ,  $\phi_2(2.3296) \simeq -92.9346^\circ$ , соответственно,  $r_{1,2}$ , при которых будет меняться тип устойчивости системы:

$$\begin{cases} r_1 = \frac{(180-155.58)\pi}{180 \cdot 1.7978} \simeq 0.0755\pi \simeq 0.237, \\ r_2 = \frac{(180-92.9346)\pi}{180 \cdot 2.3296} \simeq 0.2076\pi \simeq 0.652 \end{cases} \quad (57)$$

Замкнутая система устойчива при  $r \in (0.237, 0.652)$

Запаса устойчивости по фазе нет, так как система изначально не была устойчивой.

### 3.4 Моделирование

#### 3.4.1 Система 1

Проведем моделирование при  $r = 0.15, 0.25, 0.5$ , что соответствует случаям устойчивости, граничного значения и неустойчивости.

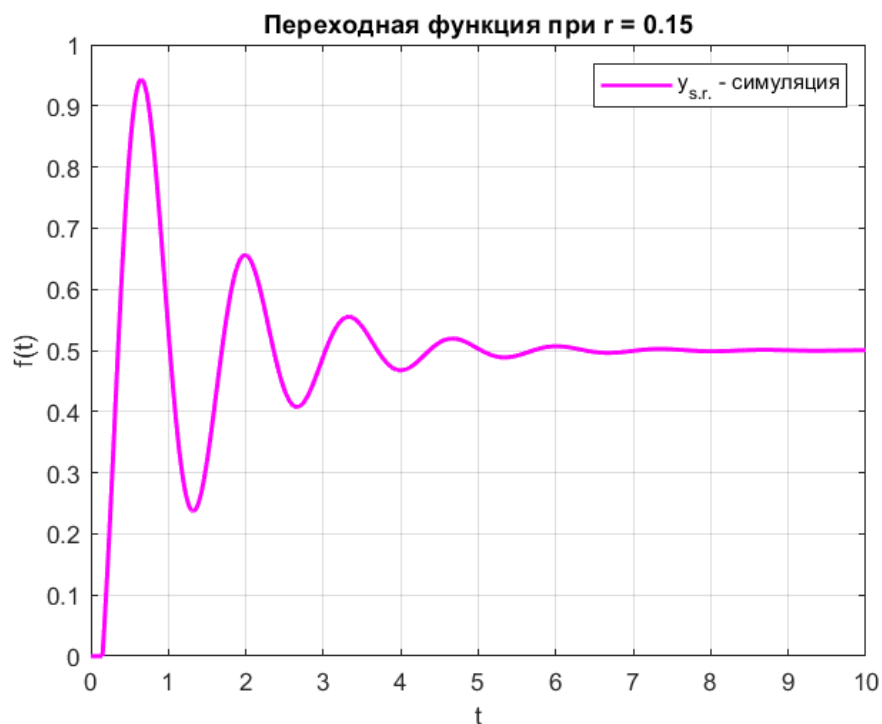


Рисунок 55 — Переходная функция для первой системы при  $r = 0.15$ .

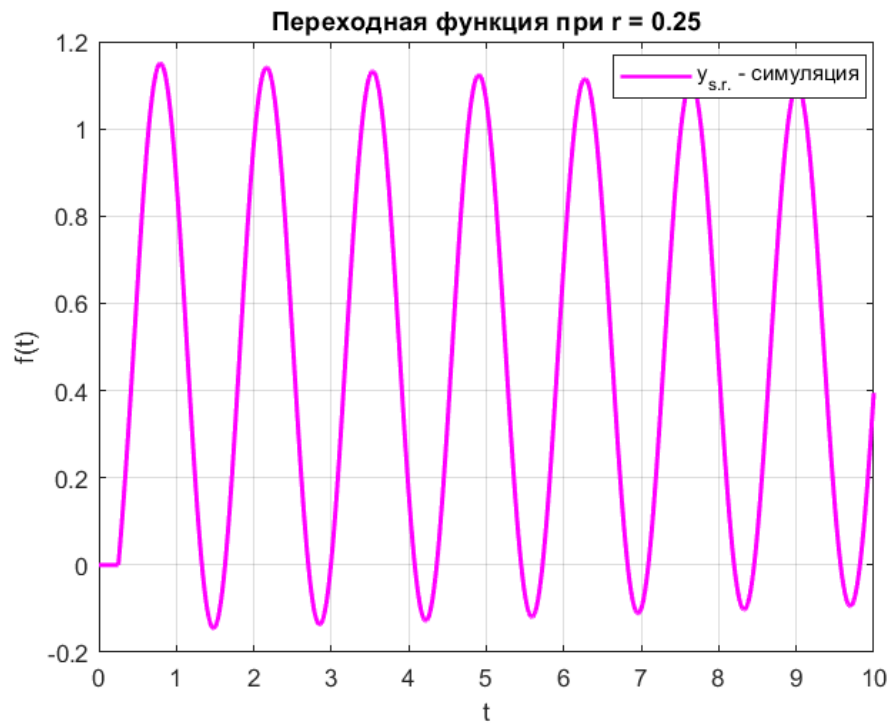


Рисунок 56 — Переходная функция для первой системы при  $r = 0.25$ .

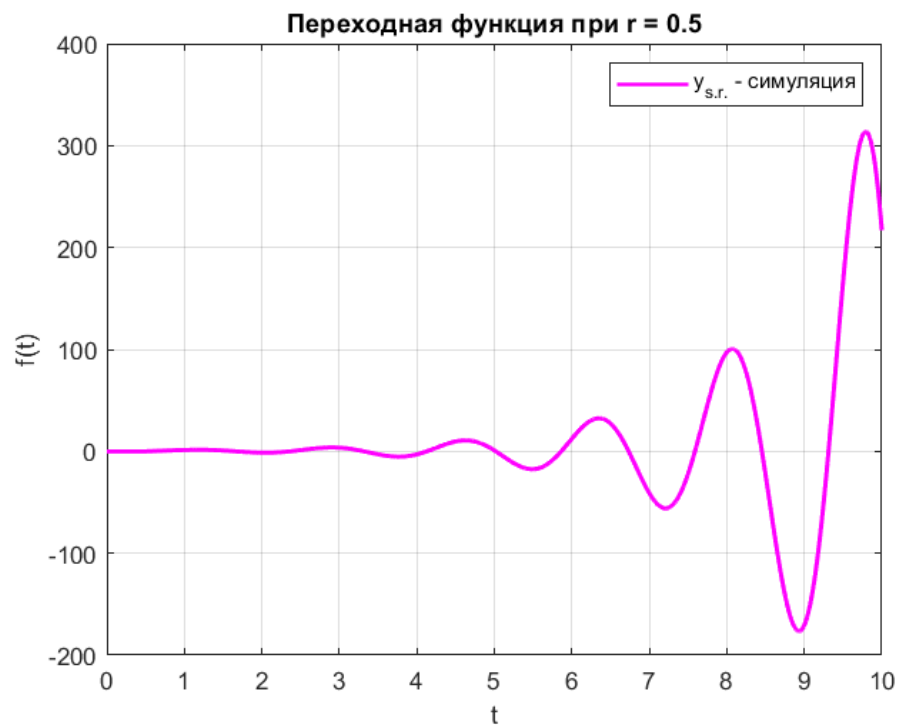


Рисунок 57 — Переходная функция для первой системы при  $r = 0.5$ .

### 3.4.2 Система 2

Проведем моделирование при  $r = 0.1, 0.4, 0.8$ , что соответствует случаям неустойчивости, устойчивости и вновь неустойчивости.



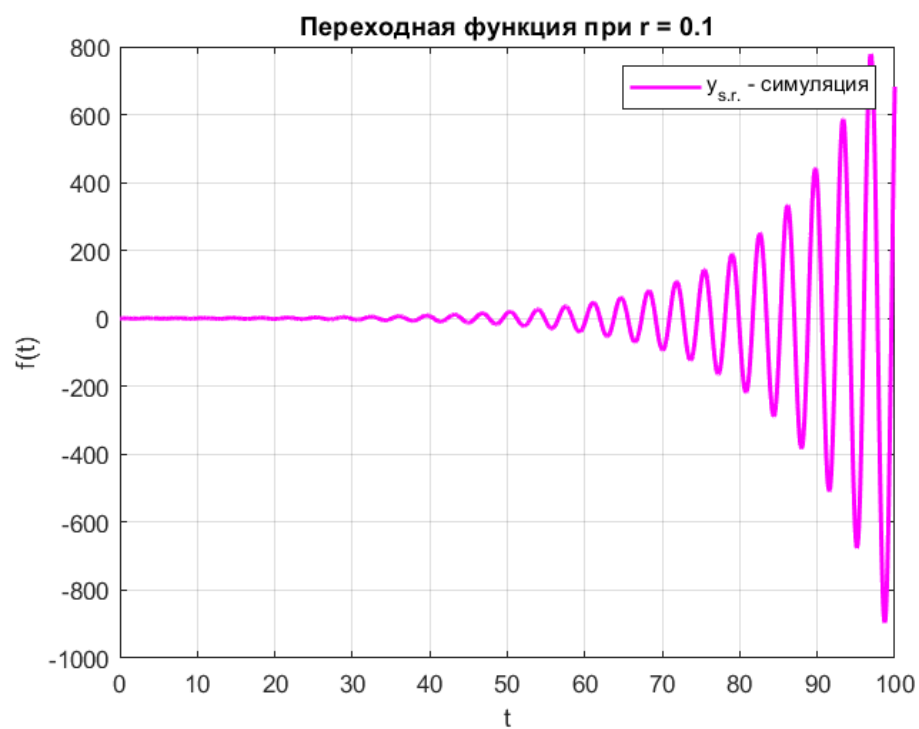


Рисунок 58 — Переходная функция для второй системы при  $r = 0.1$ .

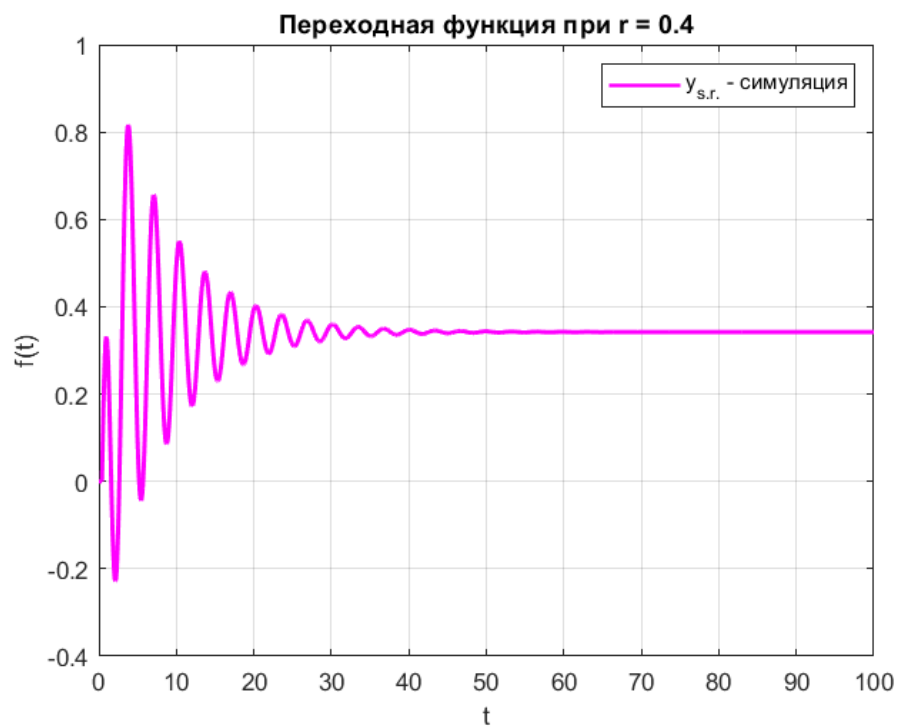


Рисунок 59 — Переходная функция для второй системы при  $r = 0.4$ .

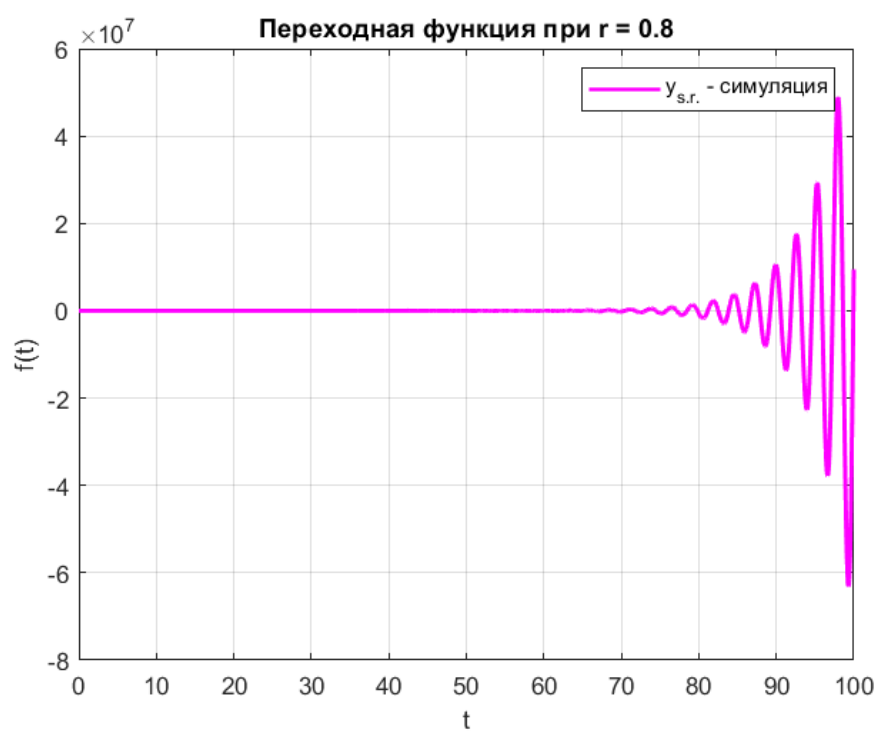


Рисунок 60 — Переходная функция для второй системы при  $r = 0.8$ .

## 4 ВЫВОД

В ходе выполнения лабораторной работы были применены на практике знания о критерии Найквиста и системах с запаздыванием. В первой части работы, рассмотрены три объекта с разными количествами неустойчивых полюсов в замкнутом и разомкнутом виде. Здесь наглядно продемонстрирована теория по критерию Найквиста и логарифмическому критерию Найквиста. Во второй части было изучено влияние коэффициента усиления на количество неустойчивых полюсов системы и на годограф Найквиста. В последней части была изучена взаимосвязь между устойчивостью системы и коэффициентом запаздывания.